

Atome & Kerne

Sommersemester 2019

Vorlesung # 9, 21.05.19

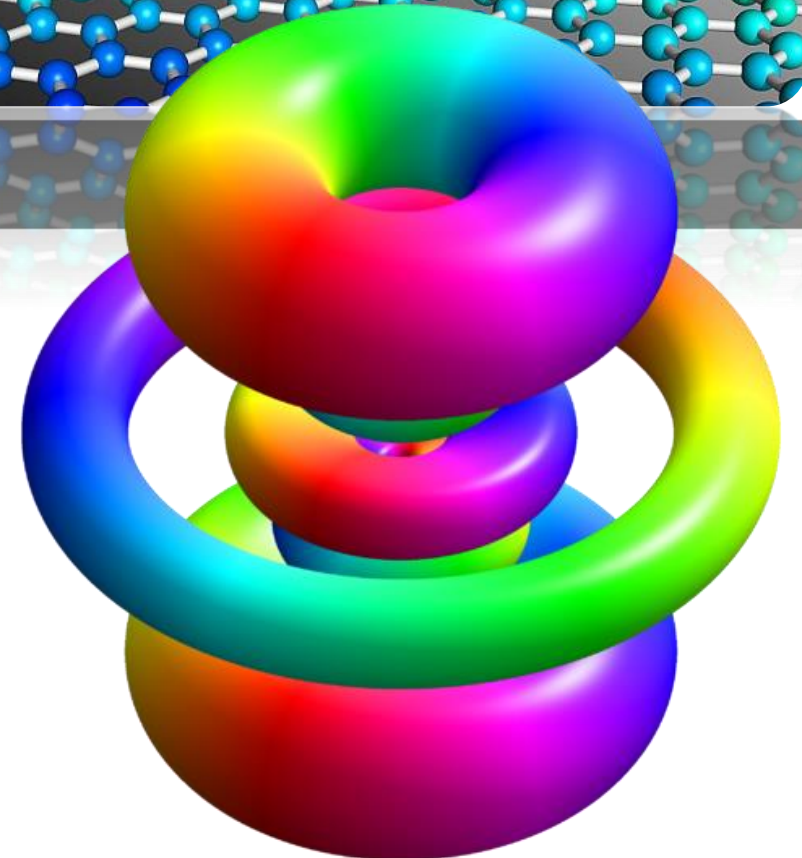
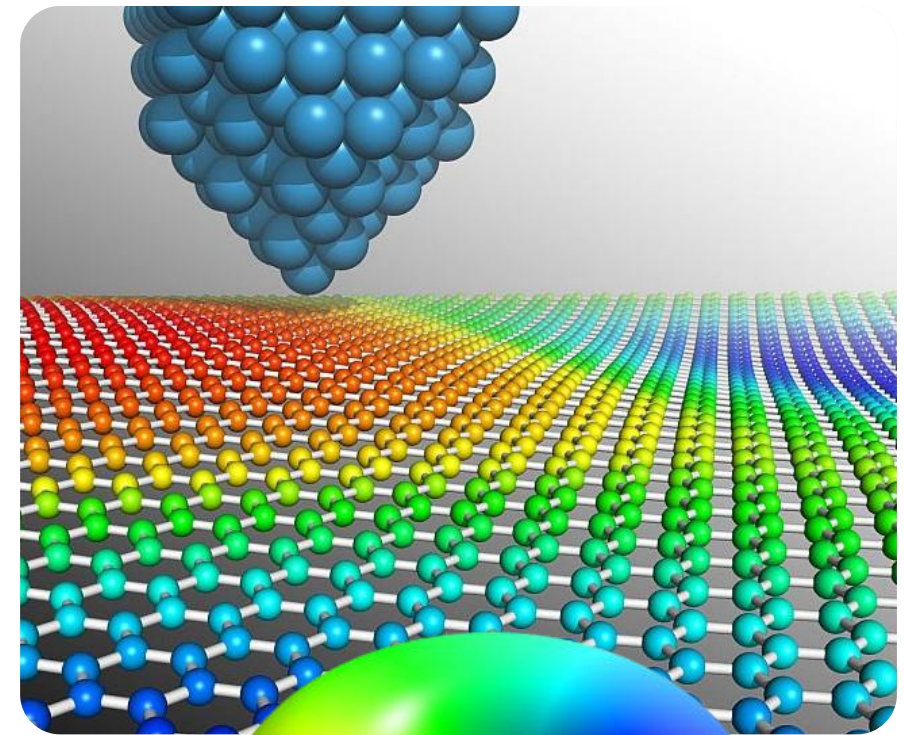
Guido Drexlin, Institut für Experimentelle Teilchenphysik, Fakultät für Physik

Elemente der Quantenmechanik

- Tunneleffekt
- Rastertunnelmikroskop

Das Wasserstoff-Atom

- QM des H-Atoms (Grundzüge)
- quantisierte Drehimpulse
- Raumquantisierung



QM-Harmonischer Oszillator



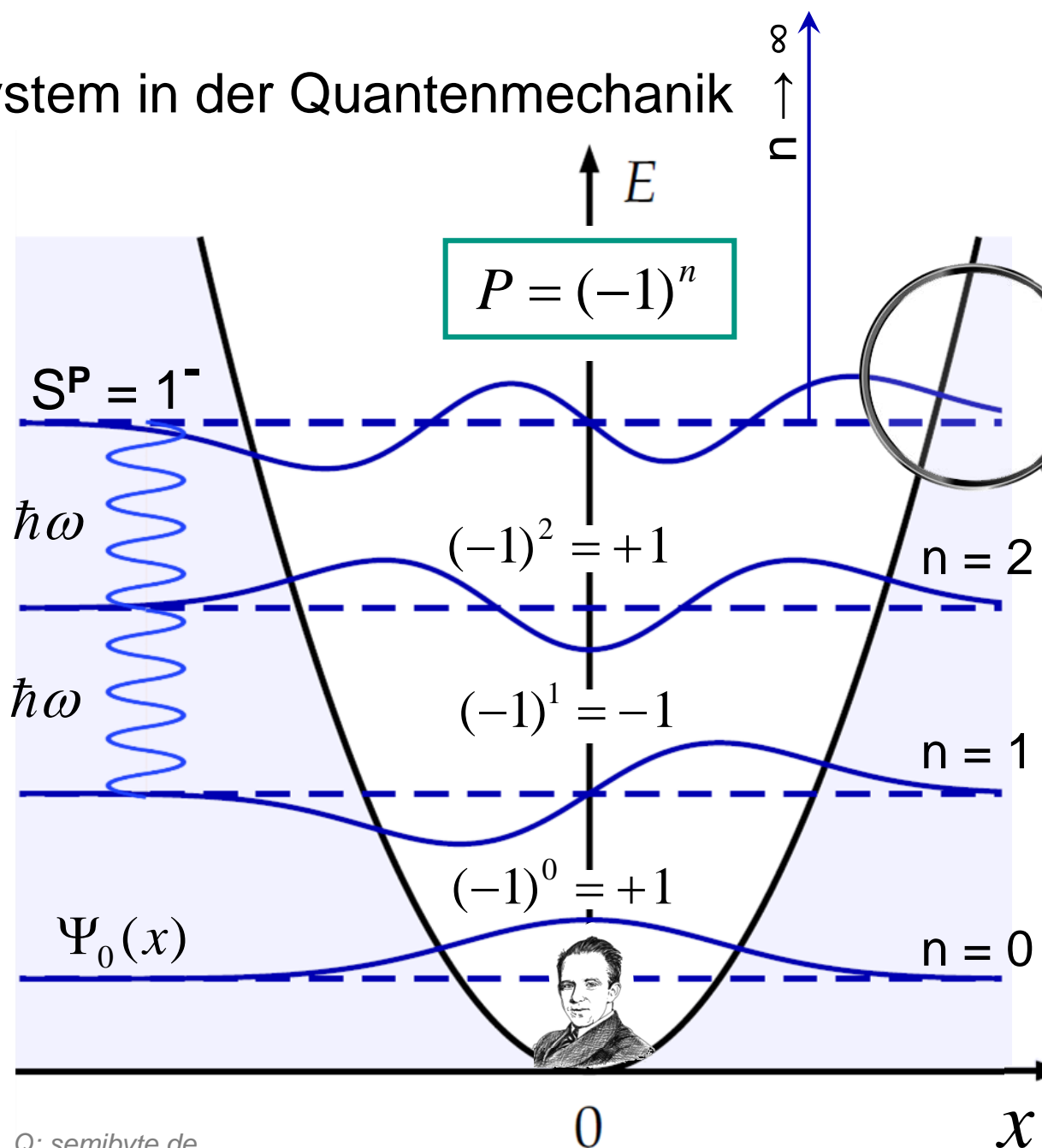
- Grundlegendes System in der Quantenmechanik

Aufenthaltswahrscheinlichkeit

$$\sim |\Psi_n(x)|^2$$

$$E_n = \hbar\omega \cdot \left(n + \frac{1}{2} \right)$$

Nullpunktenergie:



Tunneln = Eindringen in klassisch verbotene Bereiche

$$\frac{\hbar\omega}{2} \Delta x \cdot \Delta p_x \geq \frac{\hbar}{2}$$

Q: semibyte.de

Elemente der Quantenmechanik



- Erwin Schrödinger: Gleichung zur QM-Beschreibung von Systemen

■ Schrödinger-Gleichung

- zeitabhängig:

$$i\hbar \cdot \frac{\partial}{\partial t} \Psi = \hat{H} \cdot \Psi$$

- zeitunabhängig (stationär):

$$\hat{H} \Psi(\vec{r}) = E \cdot \Psi(\vec{r})$$

|
Eigenwerte

\hat{H} = Hamilton-Operator

$\Psi(x)$ Eigenfunktion

■ Messungen in der QM

- Wahrscheinlichkeitsdichte ρ :

$$\rho(\vec{r}, t) = |\Psi(\vec{r}, t)|^2$$

- Superpositionsprinzip :

$$\Psi(\vec{r}, t) = \sum_{i=1}^n \alpha_i \cdot \varphi_i(\vec{r}, t)$$

- Interpretationen
Kollaps
many worlds
Dekohärenz



SI Einheiten – das „neue“ Kilogramm

- seit 20.5.2019 – Neudefinition der SI Einheiten



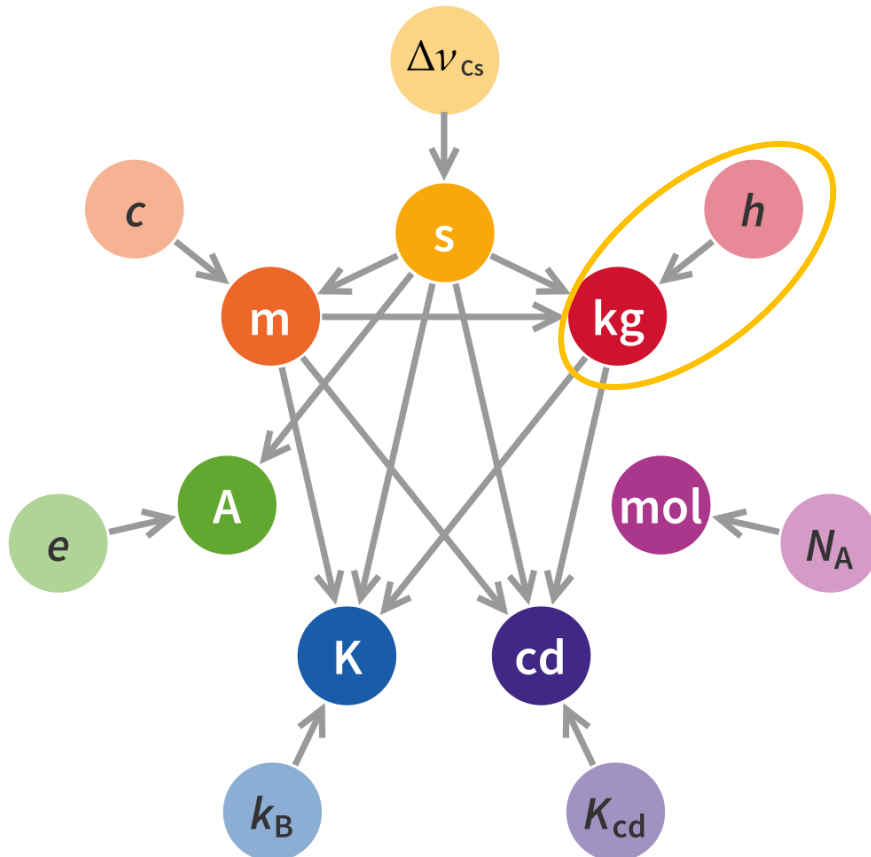
$$6.62607015 \times 10^{-34} \text{ kg} \cdot \text{m}^2 \cdot \text{s}^{-1}$$

AKTUELL

INSTRUMENTATION AND MEASUREMENT | NEWS

New definition of the kilogram comes into force

17 May 2019 Michael Banks



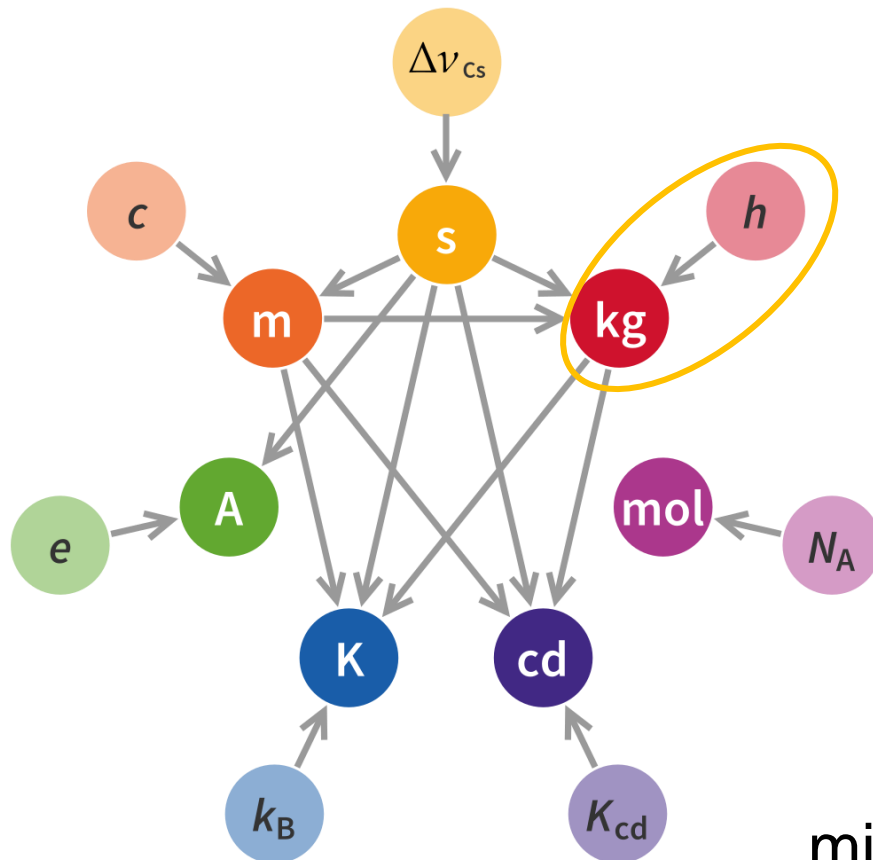
All change: work on the redefinition of the kilogram was carried out using a Kibble balance. (Courtesy: BIPM)

SI Einheiten – kg nun auf Basis von h

- seit 20.5.2019 – Neudefinition der SI Einheiten

Planck-Konstante auf 9 ppb gemessen

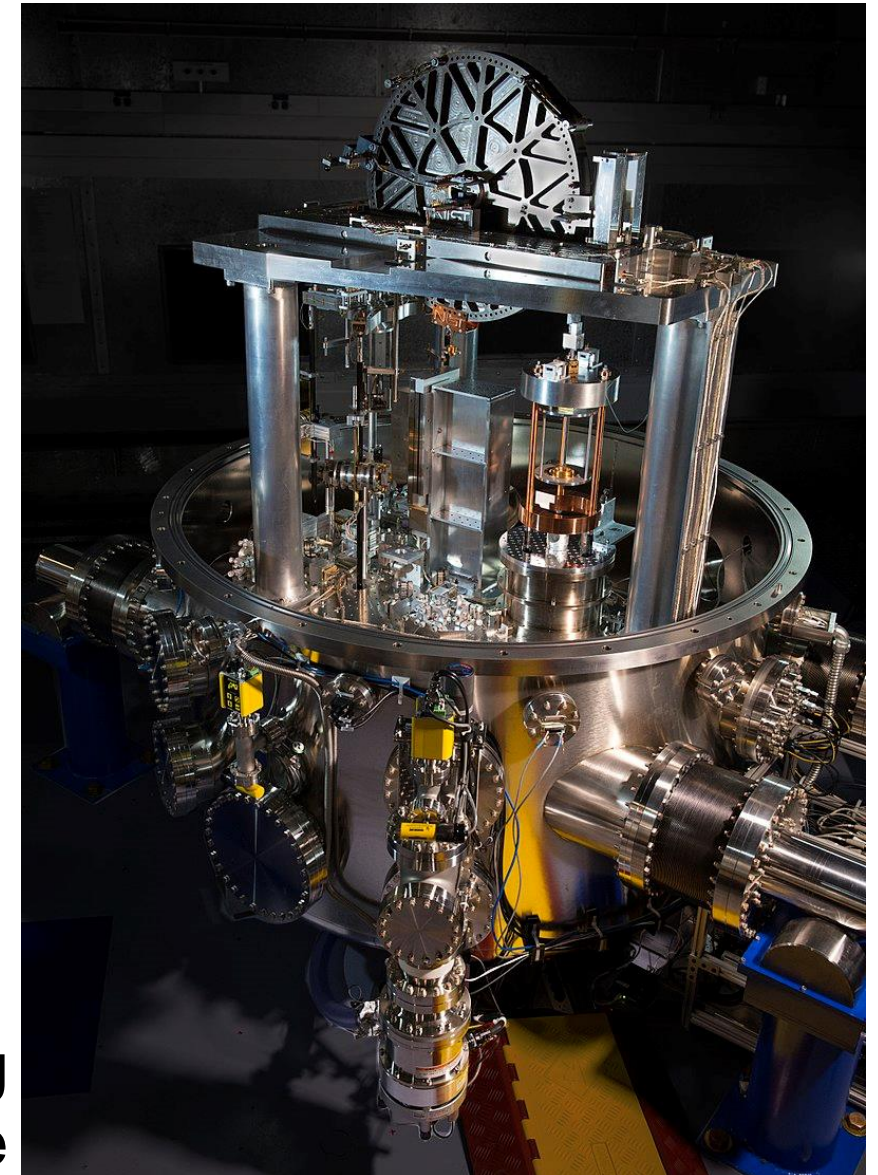
Neudefinition der SI-Einheiten



h

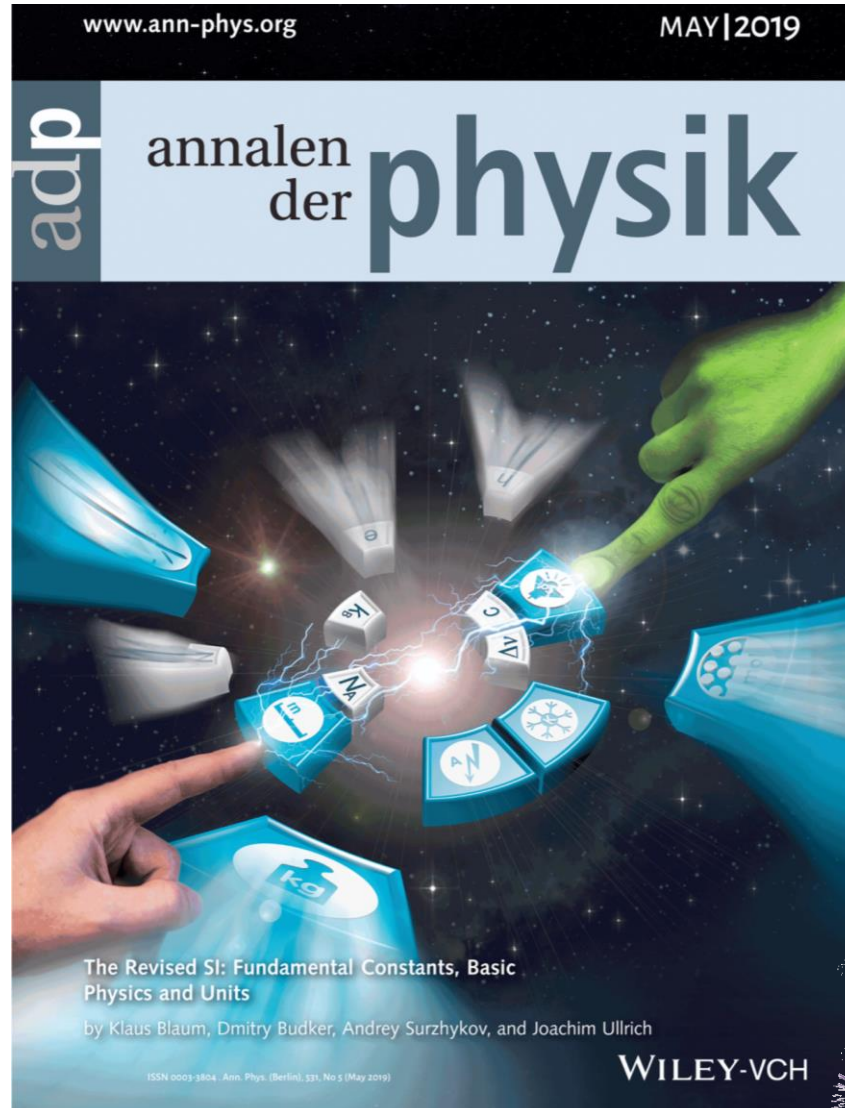


Messung
mit Kibble-Waage



Welt-Metrologie-Tag 2019

- seit 20.5.2019 – Neudefinition der SI Einheiten



s. Zusatz-Info



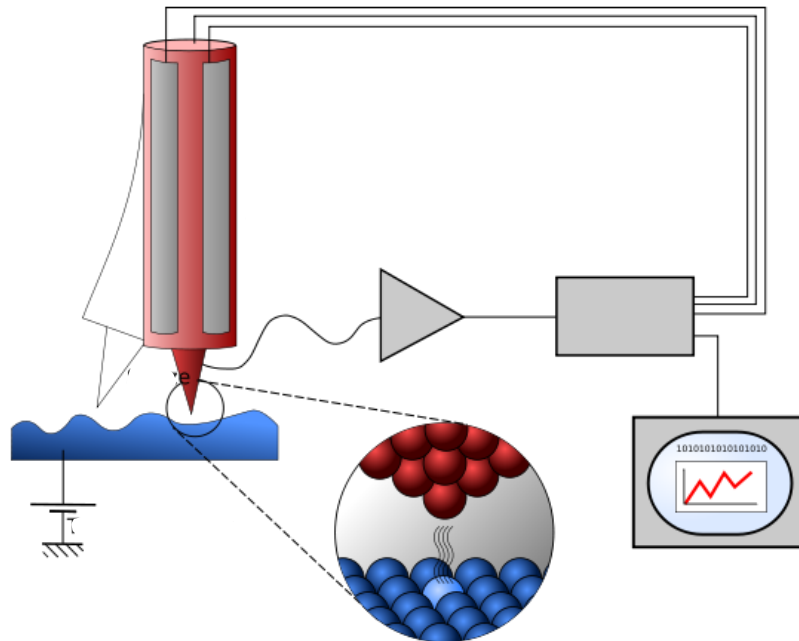
5.4 Tunneleffekt

■ **Tunneleffekt:** Quantenobjekt kann endliche Potenzialbarriere auch dann durchdringen, wenn dies klassisch verboten ist, da $E < V(r)$

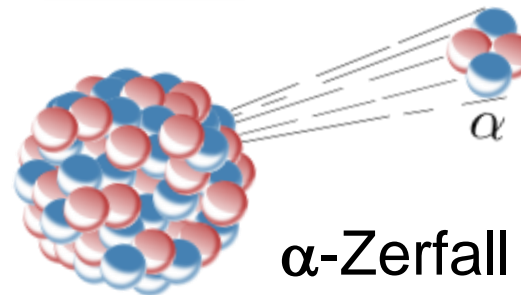
- Beispiele:

ATOME

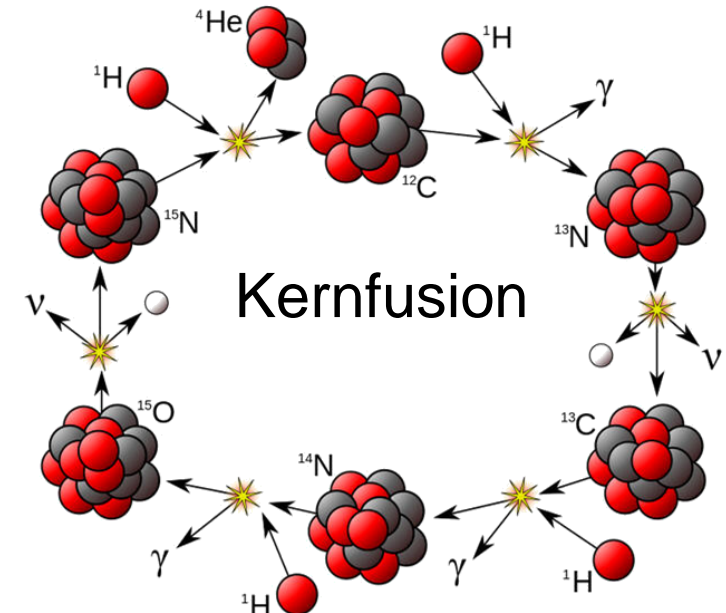
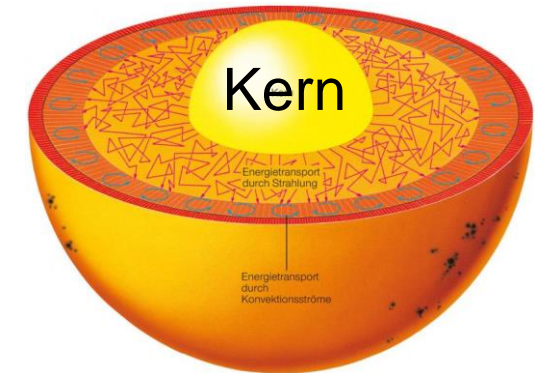
KERNE



Rastertunnelmikroskop



α -Zerfall

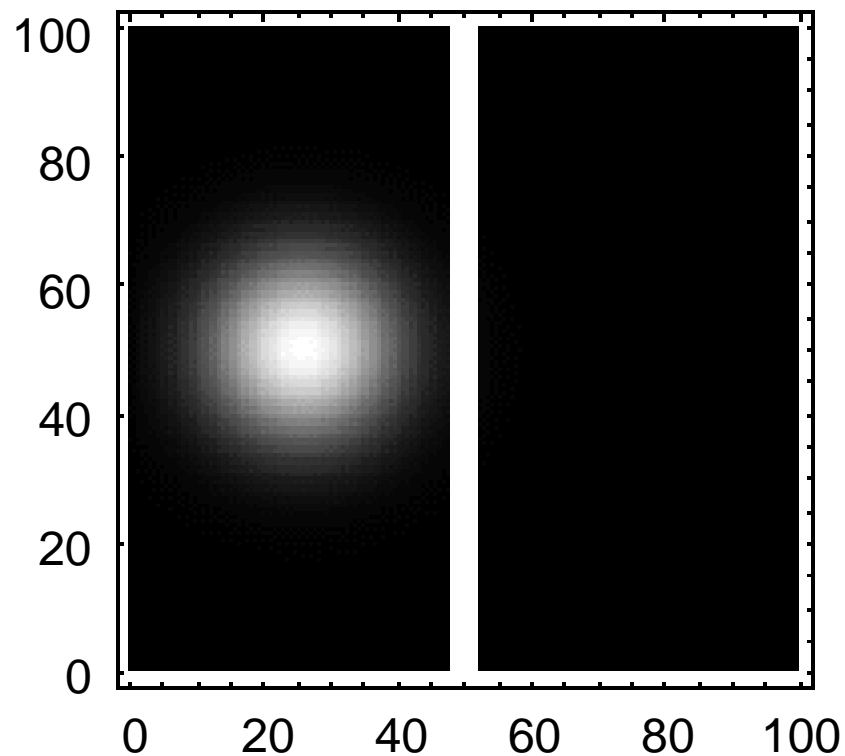


Kernfusion

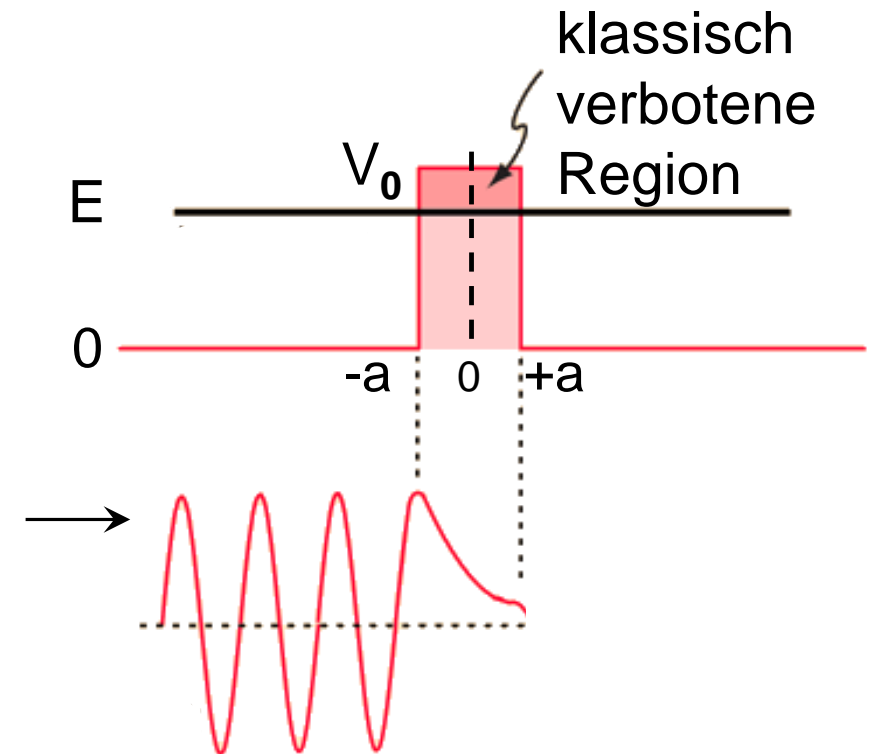
Durchtunneln einer Barriere

- **Tunneleffekt:** Bestimmung der Transmissionswahrscheinlichkeit T durch Barriere

- Potenzialbarriere V_0 in $[-a, +a]$
- Quantenobjekt (Masse m) mit $E < V_0$



Elektron an einer Barriere



- ebene Welle in Region vor Barriere

Durchtunneln einer Barriere

- **Tunneleffekt:** Bestimmung der Transmissionswahrscheinlichkeit T durch Barriere

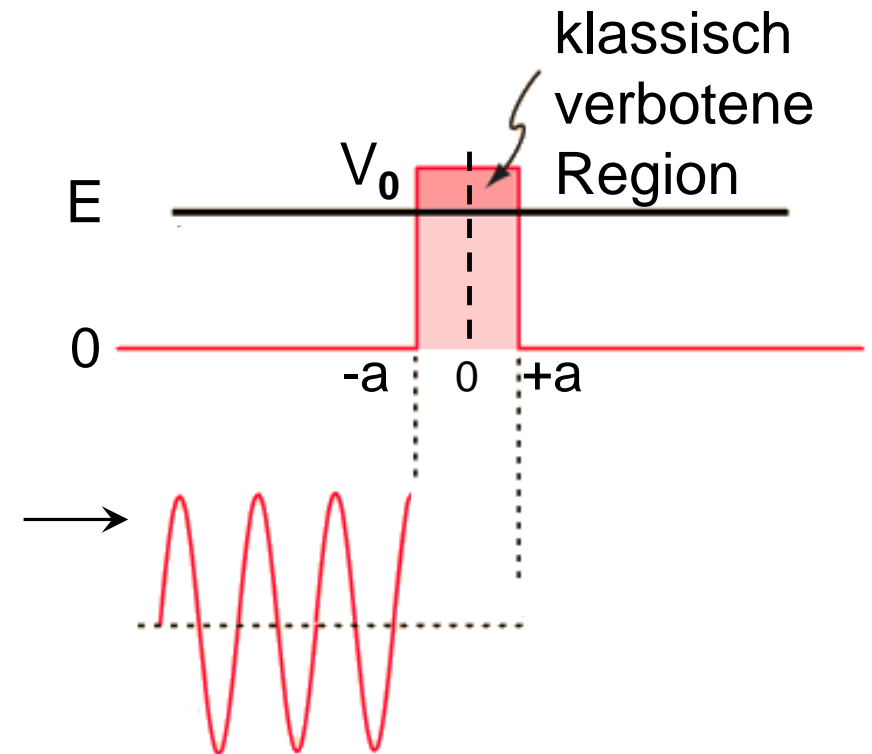
$$\Psi(x) = A \cdot e^{ikx} + R \cdot e^{-ikx}$$

einlaufend
Amplitude $A = 1$

reflektiert
Rückstreuung $R < 1$

(komplexer)

Rückstreckoeffizient R



einlaufende Welle

$$\Psi_{ein}(x, t)$$

$$\Psi_{ref}(x, t) \leftarrow$$

reflektierte Welle

Durchtunneln einer Barriere

- **Tunneleffekt:** Bestimmung der Transmissionswahrscheinlichkeit T durch Barriere

$$\Psi(x) = A \cdot e^{ikx} + R \cdot e^{-ikx}$$

- **transmittierte** Welle hinter Barriere:

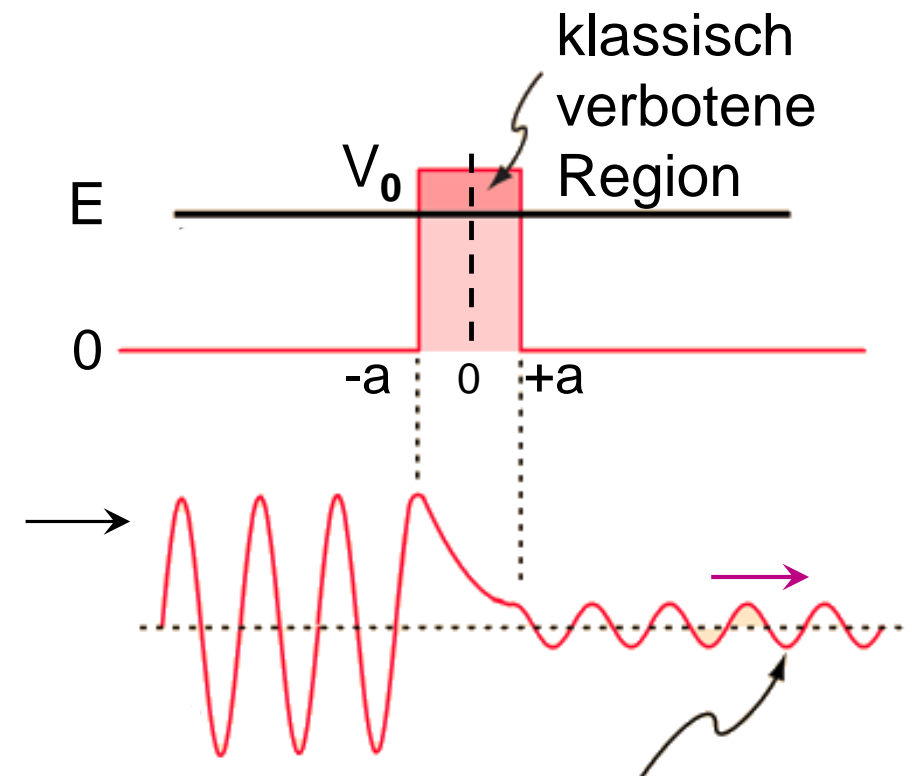
$$\Psi_{trans}(x) = T \cdot e^{ikx}$$

(komplexer)

Transmissionskoeffizient T

- Kontinuitätsgleichung
(Teilchenzahl bleibt erhalten)

$$|T|^2 + |R|^2 = 1$$



einlaufende Welle

transmittierte Welle

$$\Psi_{ein}(x, t)$$

$$\Psi_{trans}(x, t)$$

$$\Psi_{ref}(x, t)$$

reflektierte Welle

Durchtunneln einer Barriere

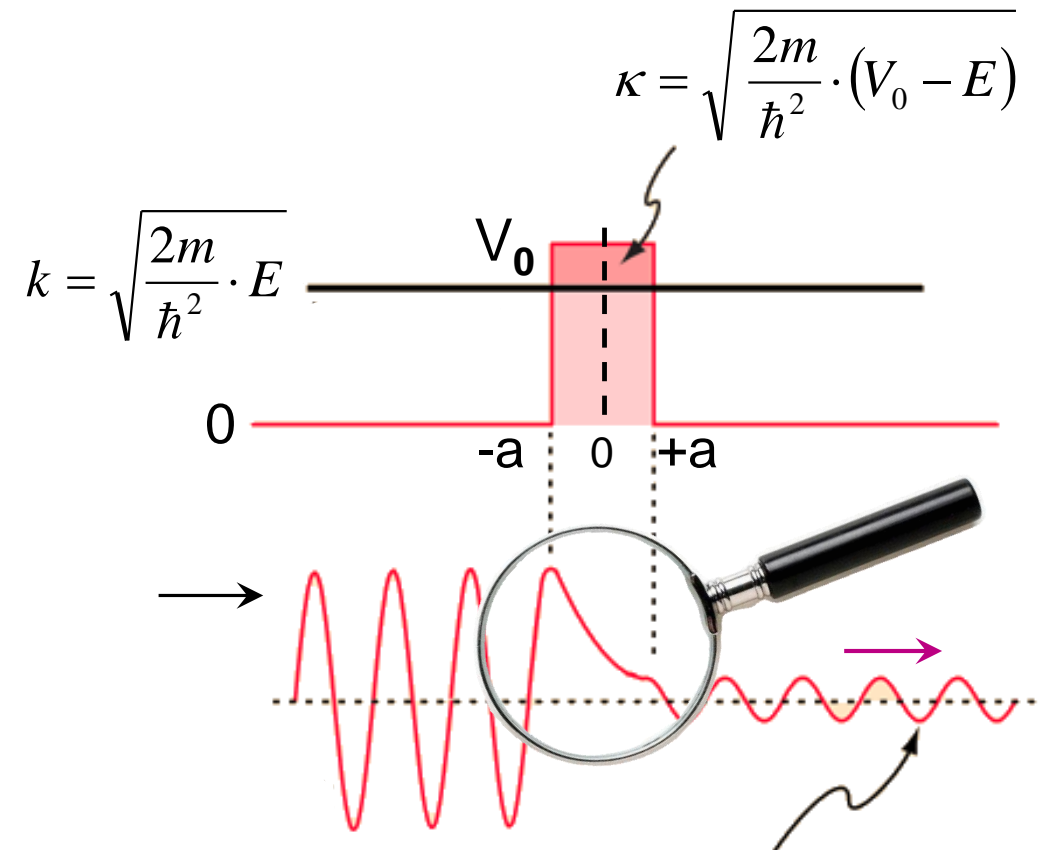
■ **Tunneleffekt:** Bestimmung von T

- Schrödinger-Gleichung lösen
- Wellenfunktion innerhalb Barriere: exponentiell abfallend

$$\Psi_{\text{Barriere}}(x) = \alpha \cdot e^{\kappa \cdot x} + \beta \cdot e^{-\kappa \cdot x}$$

■ bestimme die 4 Koeffizienten

T, R, α und β durch die Anforderung der **Stetigkeit** von $\Psi(x)$ und $\Psi'(x)$ an Stellen $x = -a$ und $x = +a$



$$\Psi_{\text{ref}}(x, t) \leftarrow$$

reflektierte Welle

Durchtunneln einer Barriere

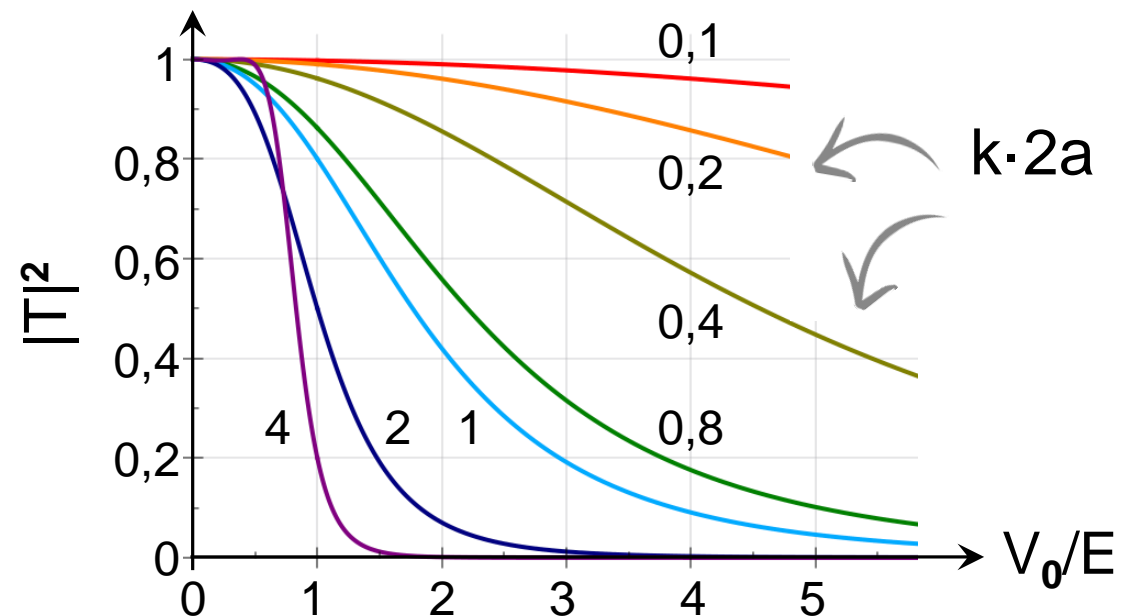
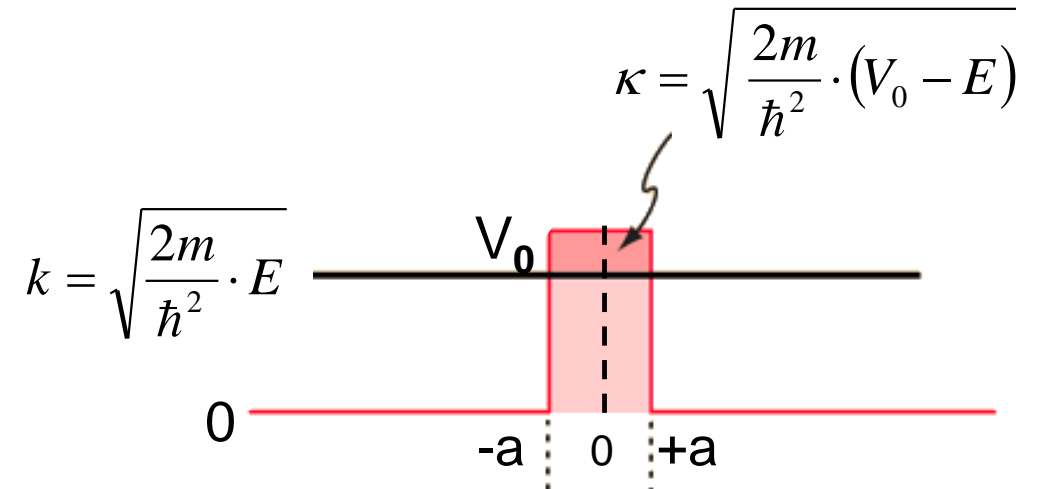
■ Tunneleffekt: Bestimmung von T

- energieabhängiger Transmissionskoeffizient durch rechteckige Barriere mit $2a$ Breite:

$$T(E) = e^{-2 \cdot \sqrt{\frac{2m}{\hbar^2} \cdot (V_0 - E)} \cdot 2a}$$

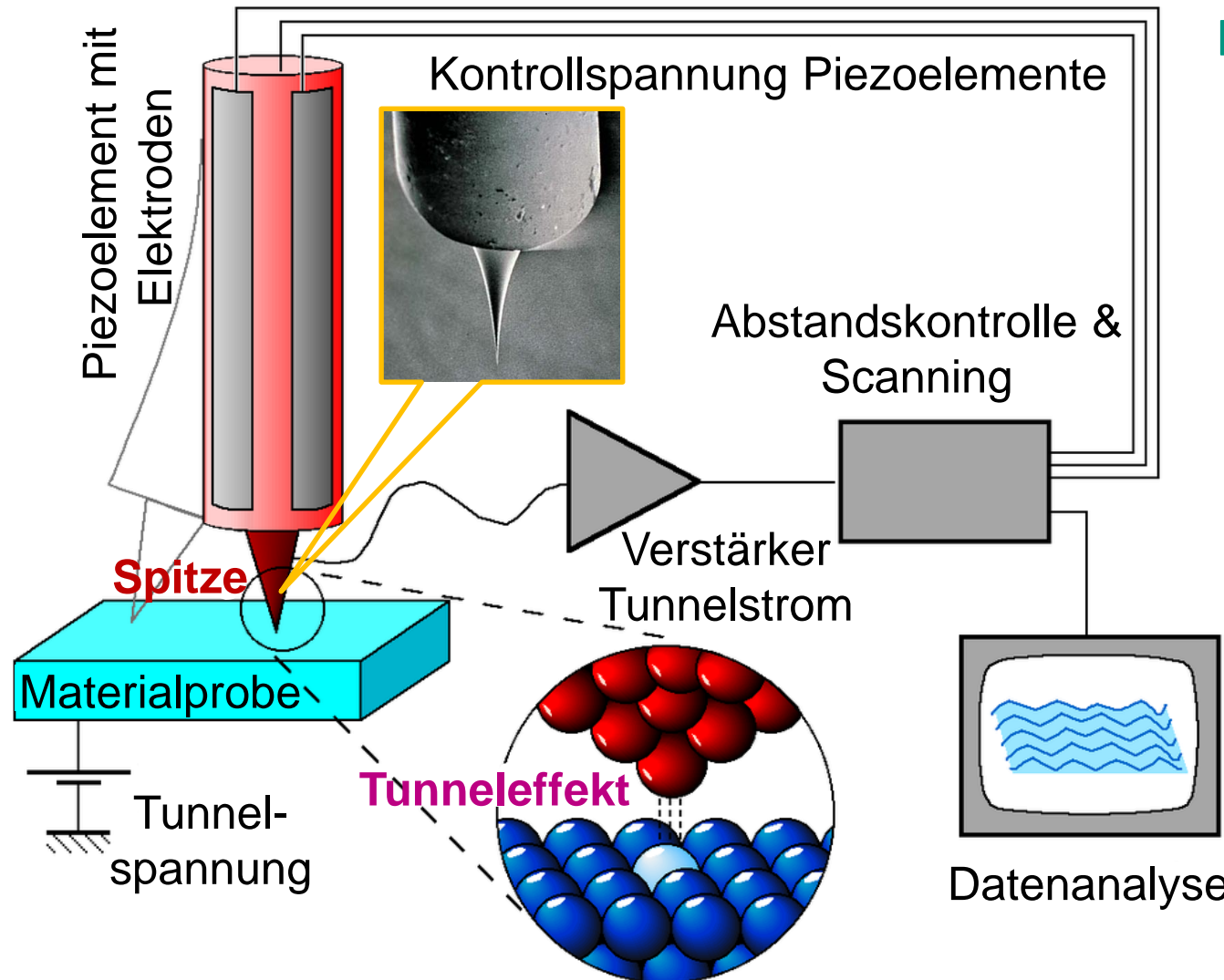
- kleines T wenn
 - $V_0 \gg E$ hohe und
 - $a \gg \lambda$ breite Barriere

- bei $V(x)$ über Barriere integrieren (z.B. α -Zerfall)



Anwendung - Rastertunnelmikroskop

- Aufgaben eines **Rastertunnelmikroskops**: Abbildung von atomaren Prozessen (bzw. Eigenschaften) einer Festkörper-Oberfläche



- Prinzip: Messung des **Tunnelstroms** zwischen Sondenspitze und Substratoberfläche



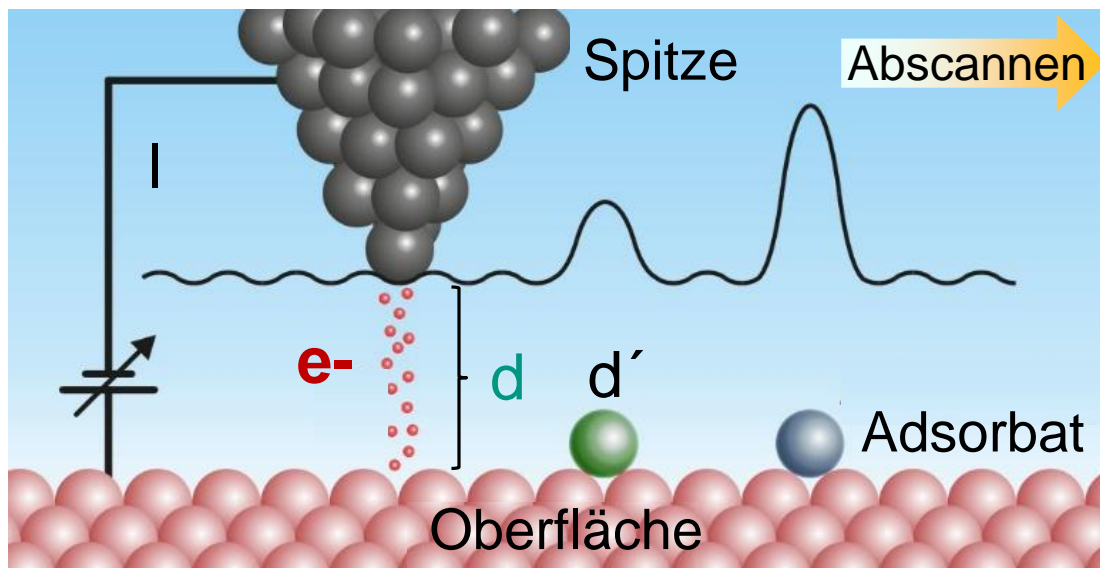
Nobelpreis
1986



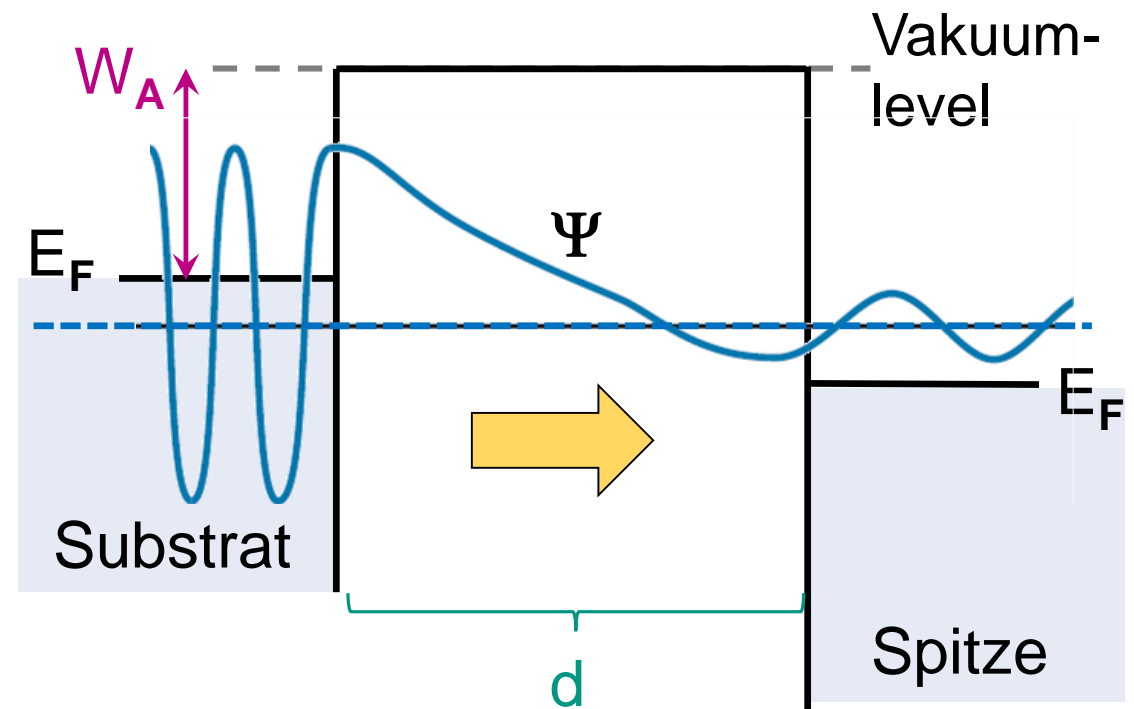
Heinrich Rohrer Gerd Binnig

Anwendung - Rastertunnelmikroskop

- Größe des **Tunnelstroms** ($I = 1 \text{ pA} - 10 \text{ nA}$) von Elektronen zwischen Substrat und Sondenspitze (in einem UHV!) ist abhängig vom Abstand d
 - Strom nur durch Tunneleffekt der im Substrat in Energiebändern gebundenen e^- (Austrittsarbeit einige eV, s. Photoeffekt)
 - **Höhenprofil**: beim Abscannen wird Tunnelstrom I konstant gehalten
⇒ Piezo-Elemente zum Verfahren der Sondenspitze (sub-nm-Bereich)

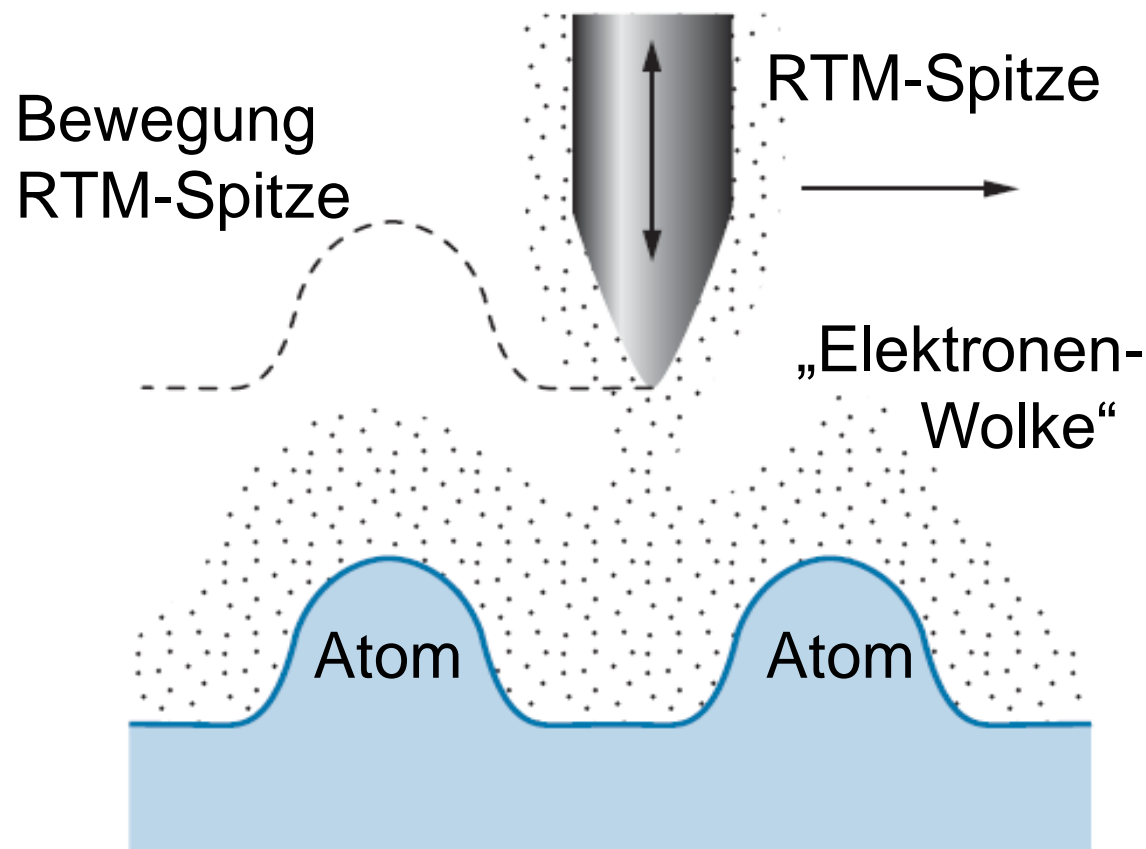
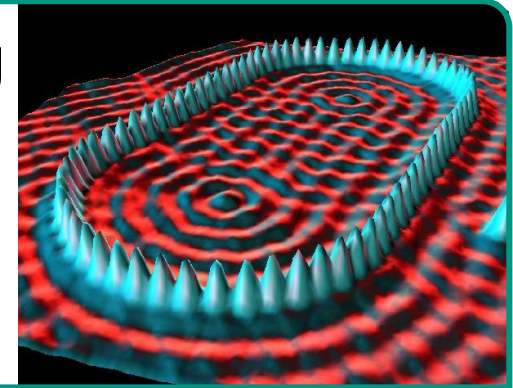


Spitze nur wenige nm oberhalb des Substrats positioniert

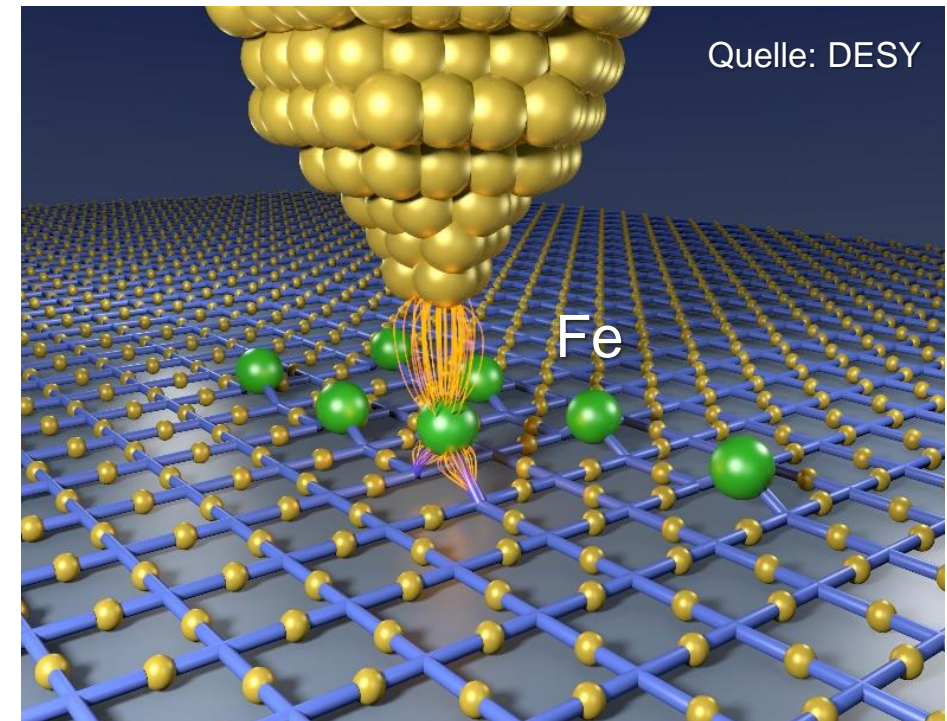


Anwendung - Rastertunnelmikroskop

- Rastertunnelmikroskope erreichen eine atomare Auflösung
 - Messgröße: Bestimmung der **lokalen Elektronendichte** an der Substrat- Oberfläche
 - Positionierung (Nanomanipulation über RTM-Sitze)



RTM-Anwendung: Fe-Atome positioniert auf Cu-Nitrit

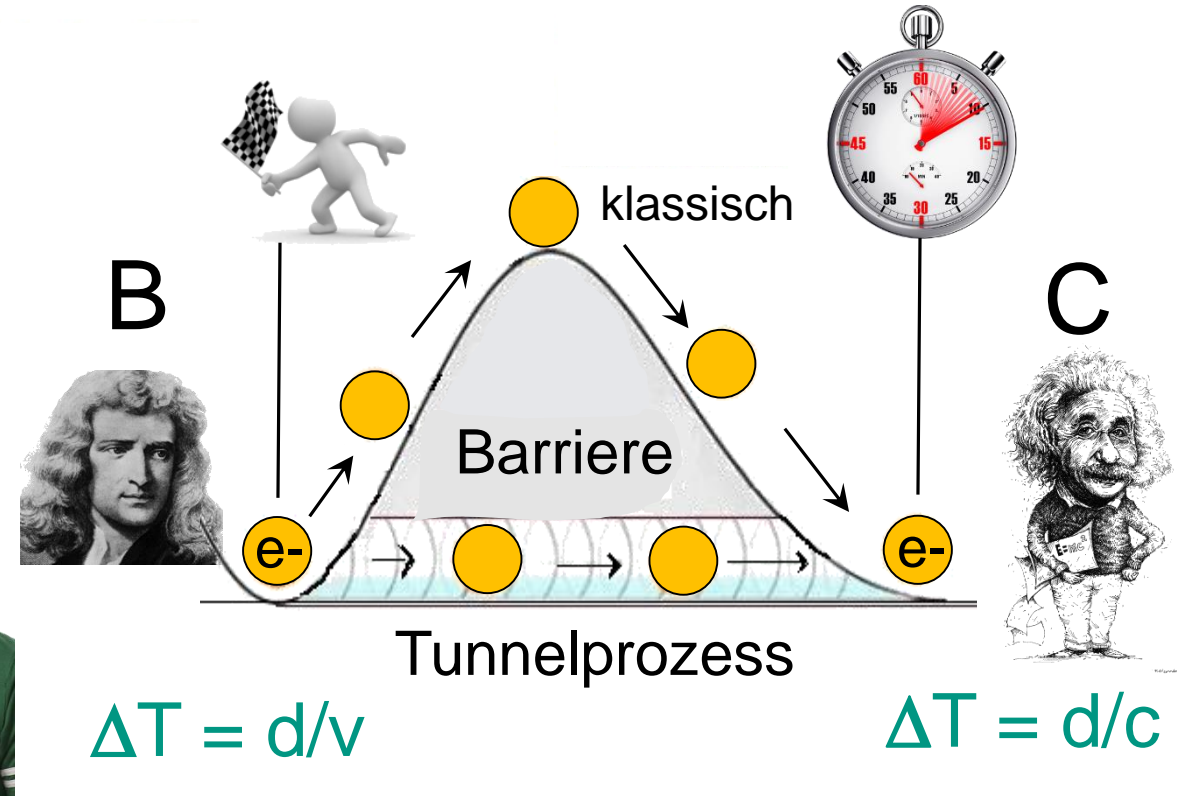
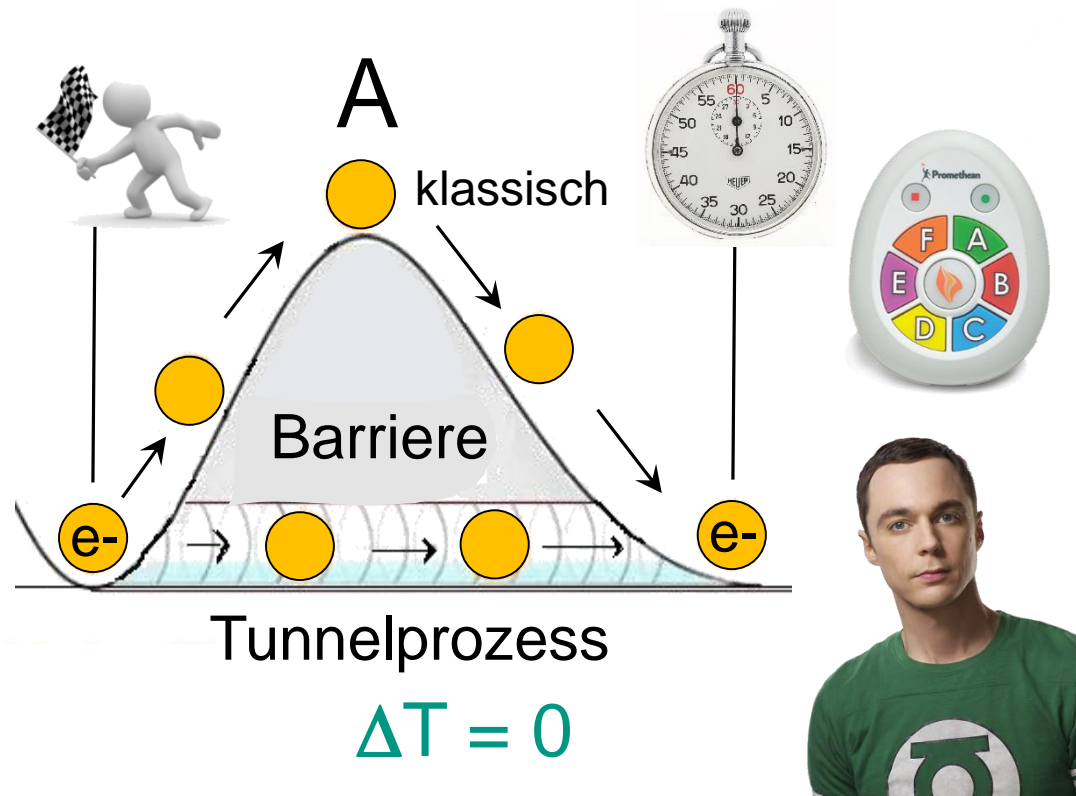
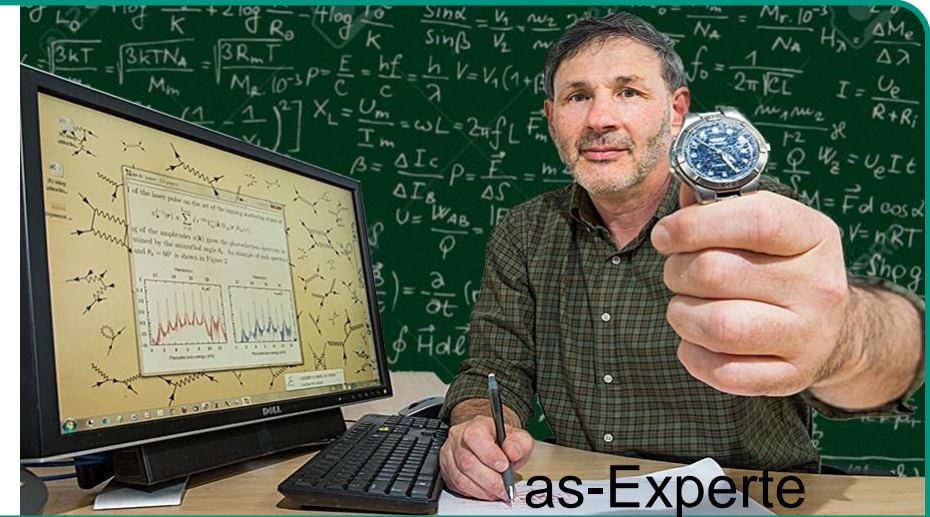


Fun with Facts: Tunnelprozess

$$1 \text{ as} = 10^{-18} \text{ s}$$

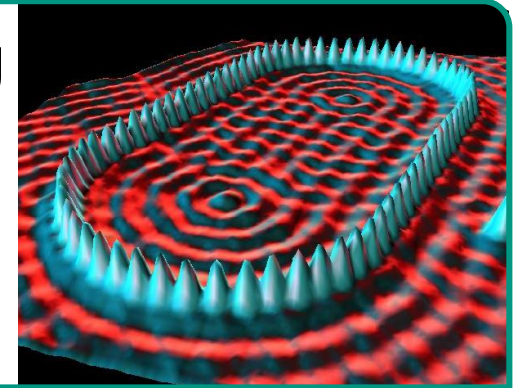
■ wie schnell ist ein Tunnelprozess?

- A) Tunneln erfolgt **instantan** !
- B) Tunneln erfolgt mit **v des Teilchens** !
- C) Tunneln erfolgt mit **v = c** (Einstein) !

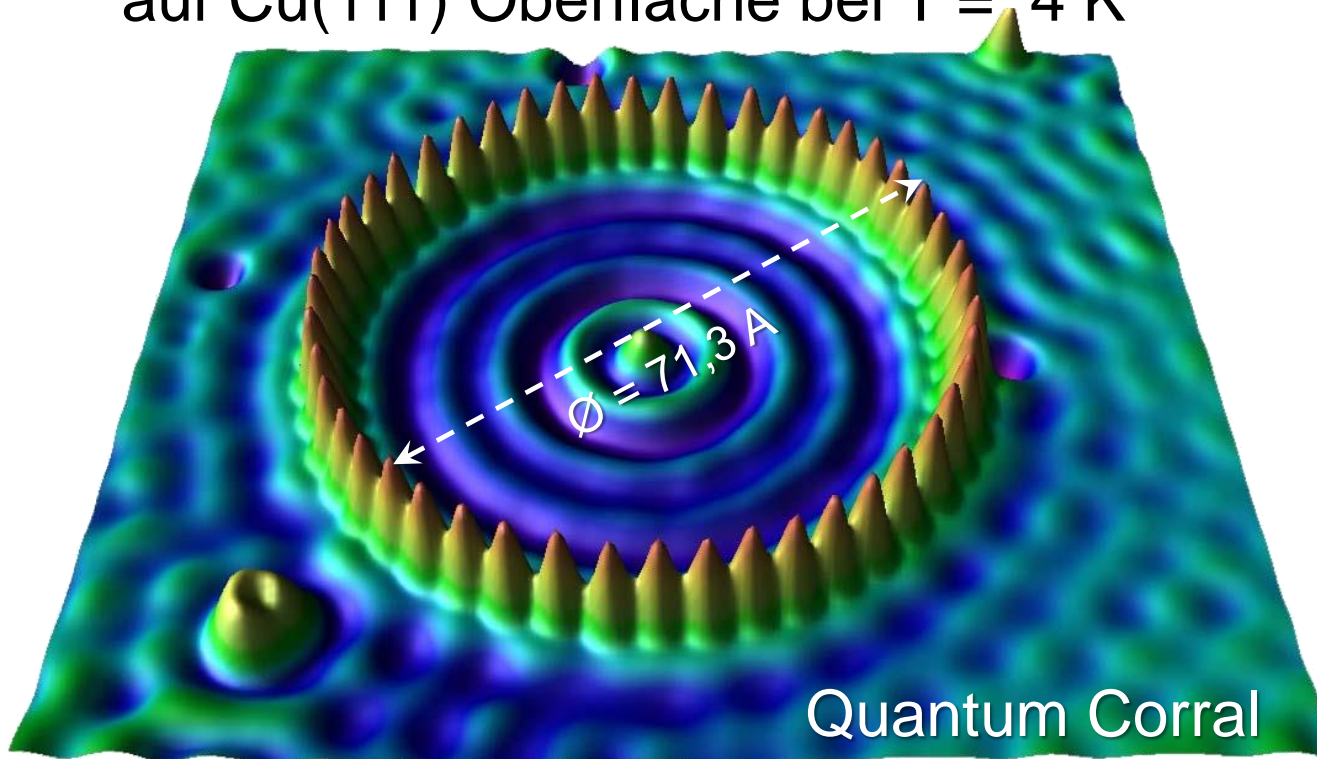


Anwendung - Rastertunnelmikroskop

- Rastertunnelmikroskope erreichen eine atomare Auflösung
 - 1993: ein Quanten-“Corral“ erzeugt stehende Elektronwellen auf einer Cu-Oberfläche – die ferromagnetischen Fe-Atome reflektieren Elektronwellen

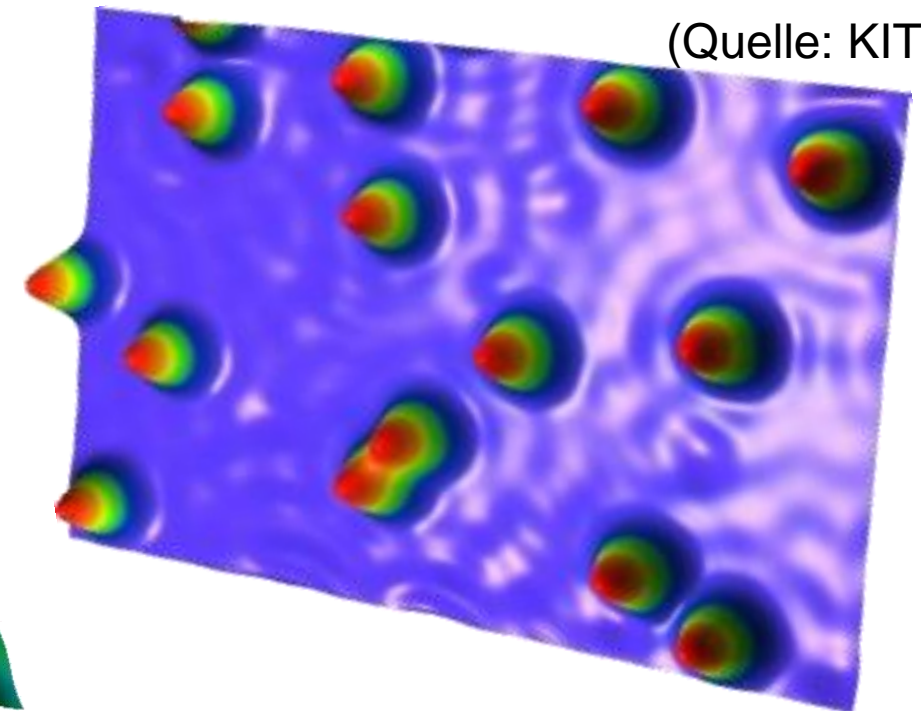


Ring aus 48 Fe-Atomen positioniert auf Cu(111) Oberfläche bei $T = 4$ K



Holmium Atome auf Platin bei $T = 1$ K

(Quelle: KIT)



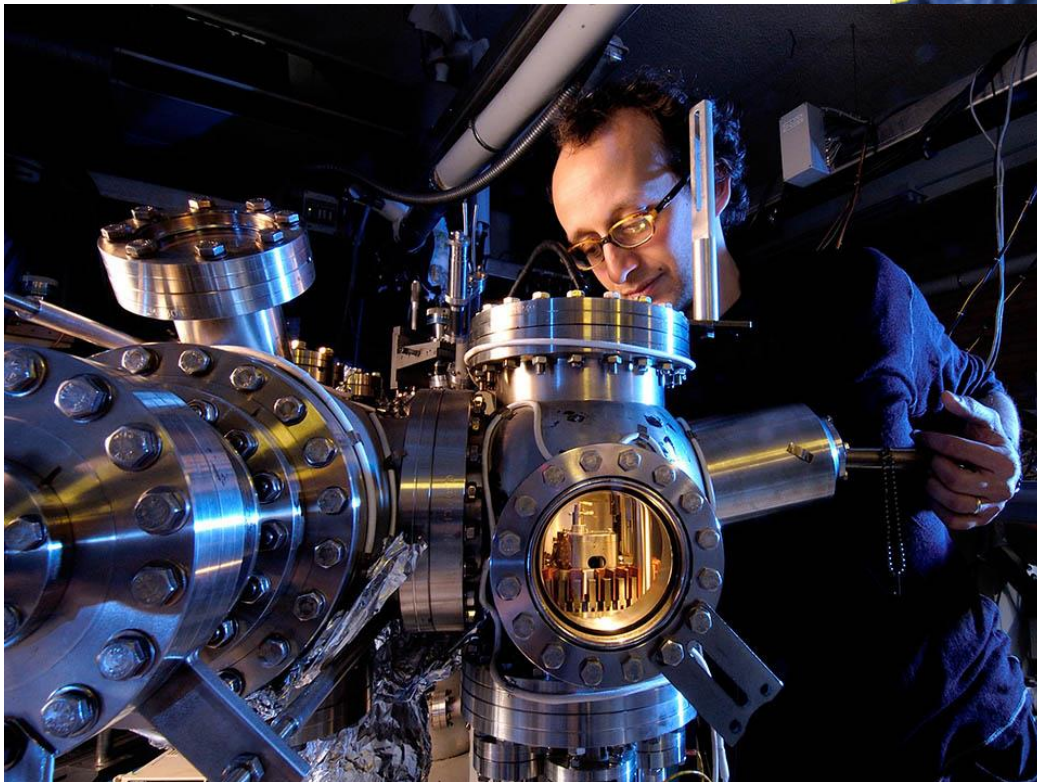
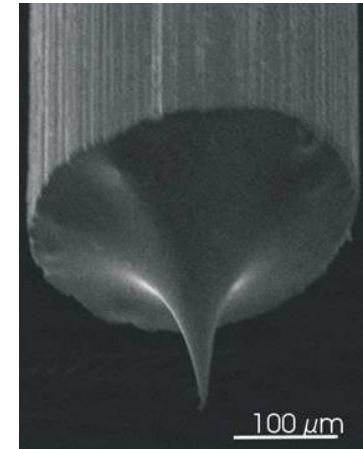
Anwendung - Rastertunnelmikroskop

■ Rastertunnelmikroskopie:

- Versuch im Fortgeschrittenenpraktikum
- großer weltweiter Markt

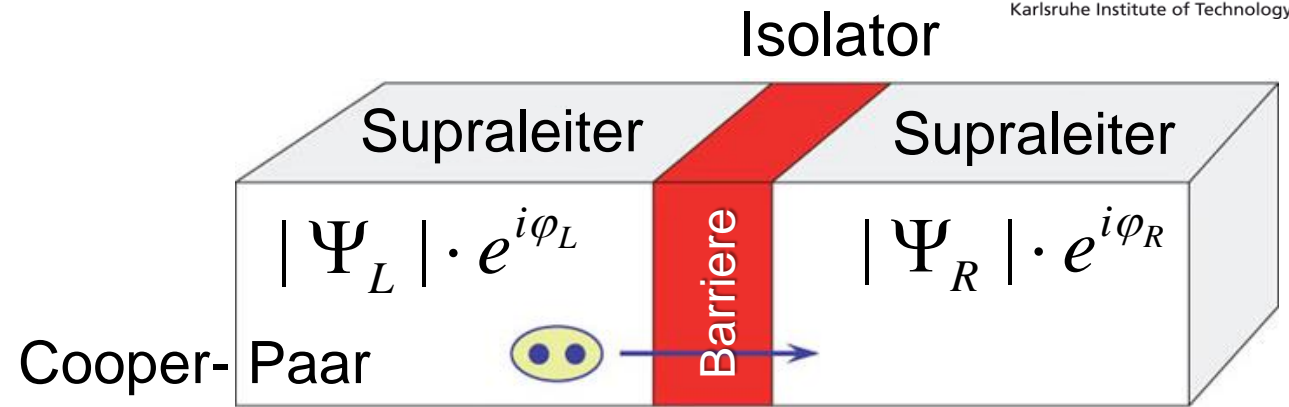


typischer Aufbau eines Rastertunnelmikroskops



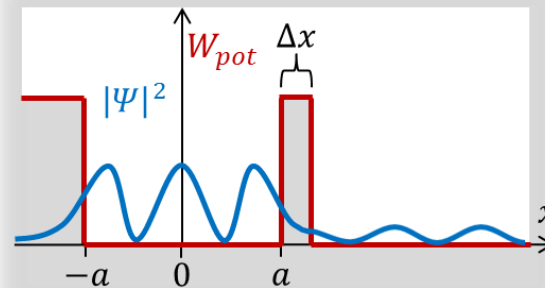
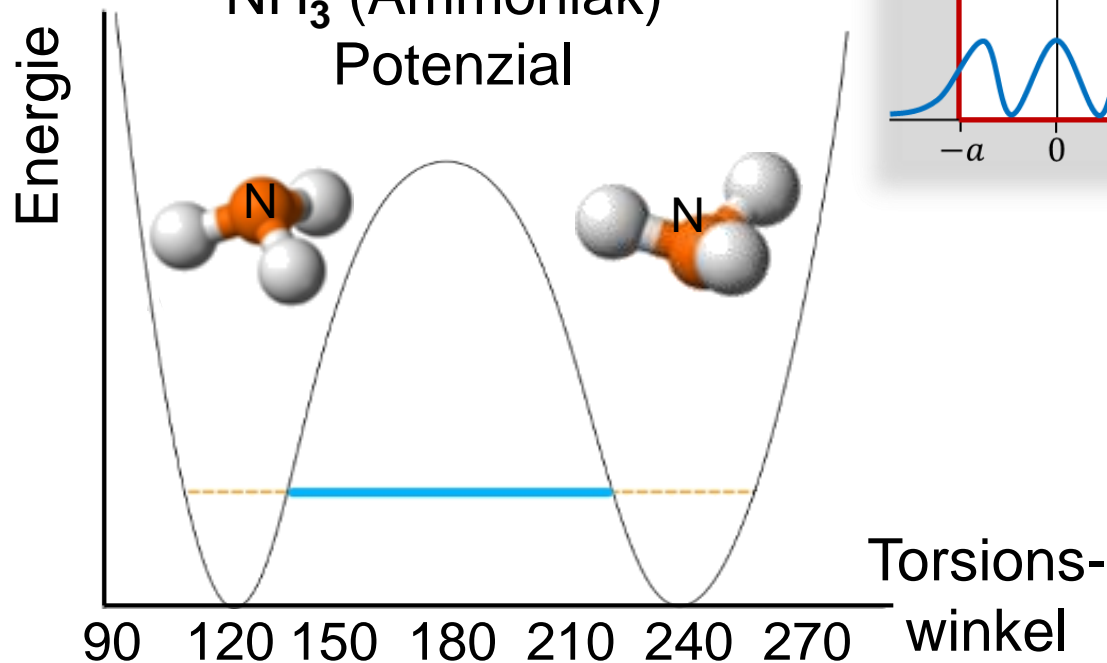
Tunneleffekt - Beispiele

Festkörper- Josephson-Kontakt

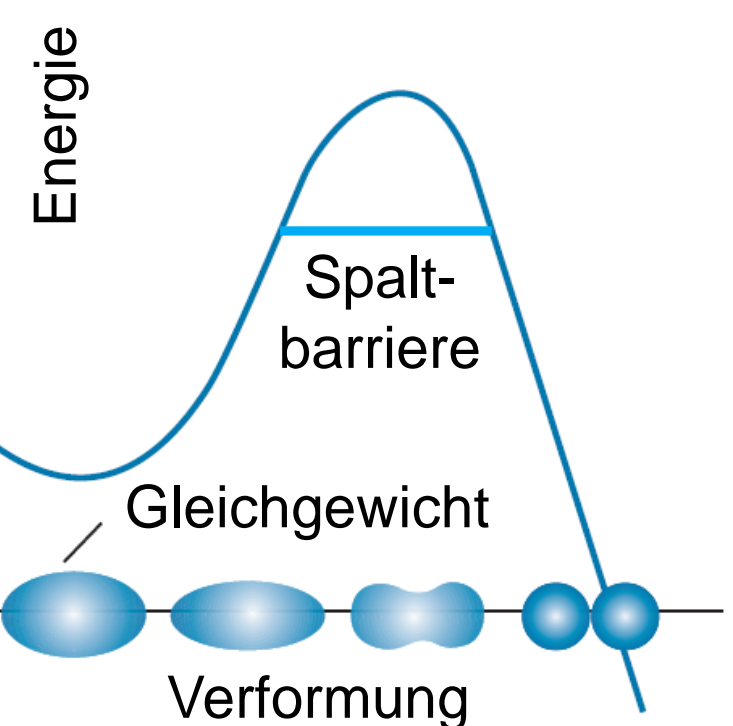


Moleküle- Inversion

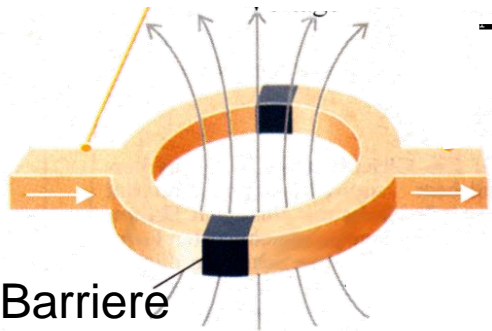
NH₃ (Ammoniak)
Potenzial



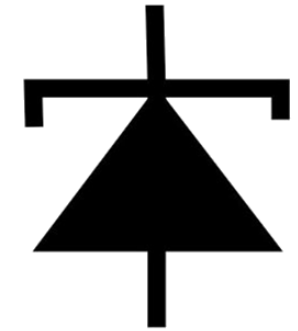
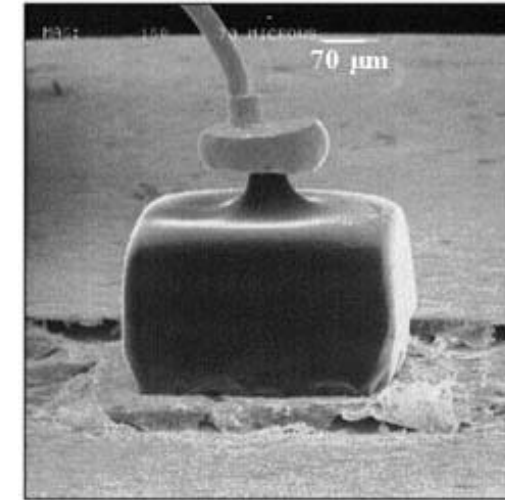
Kerne- Kernspaltung



Tunneleffekt - Anwendungen

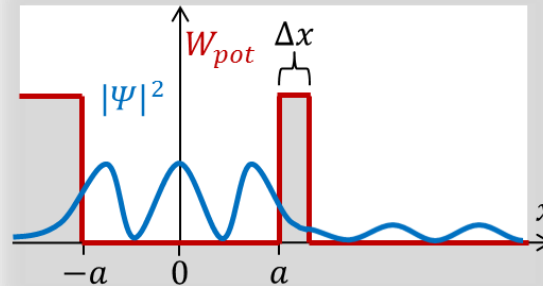


Festkörper-
Tunnel-Diode \Rightarrow
 \Leftarrow SQUIDs

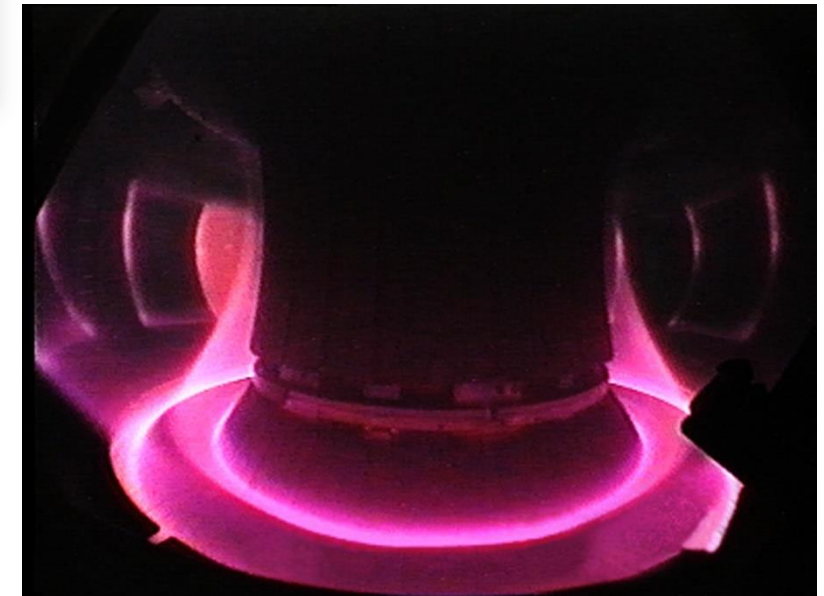
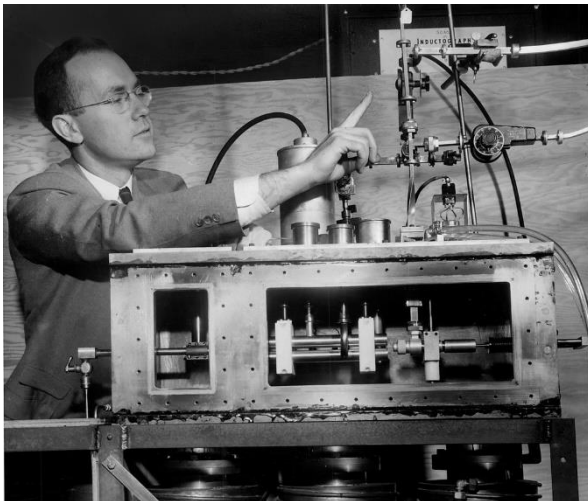
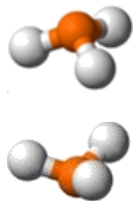


Barriere

Moleküle-
MASER-Kommunikation



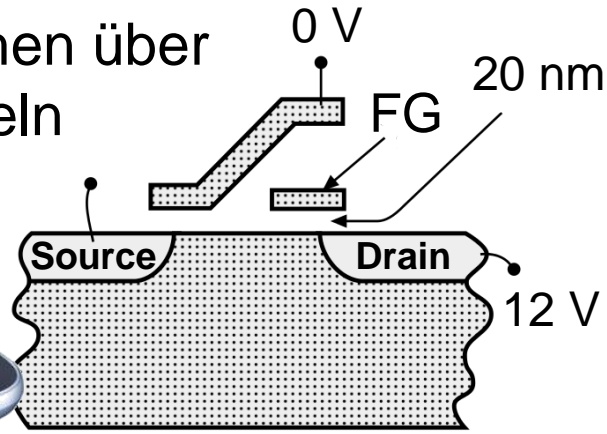
Kerne-
Plasmafusion



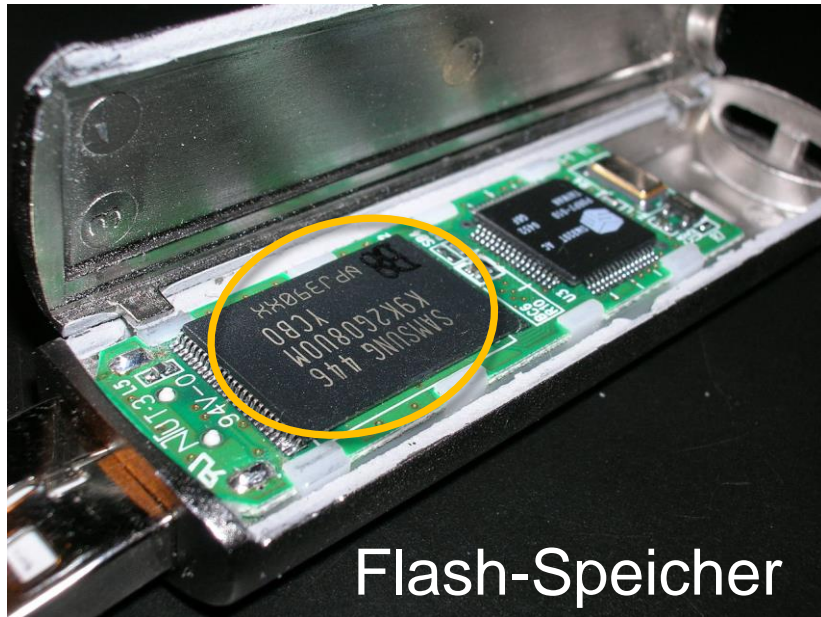
Tunneleffekt in Aktion



Löschen über Tunneln

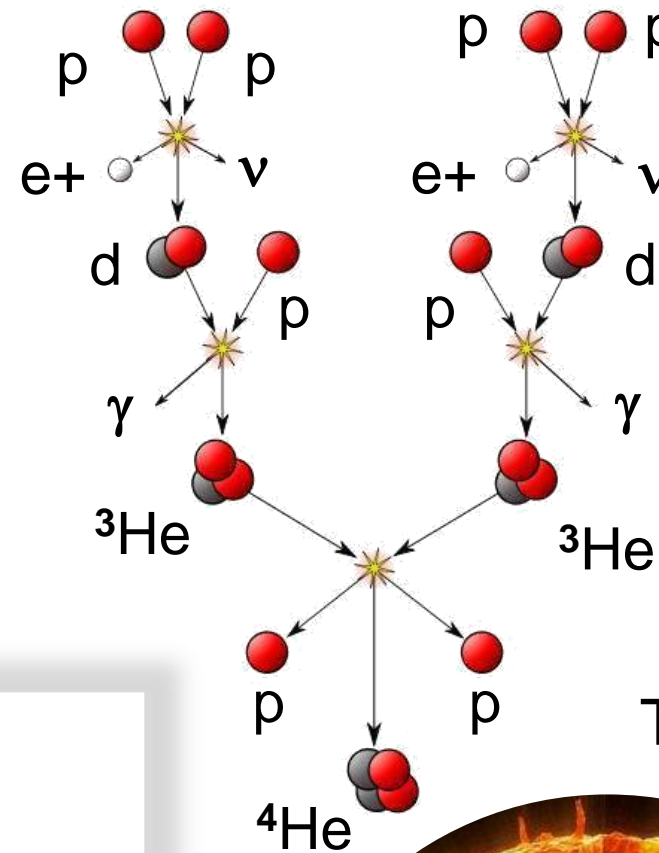
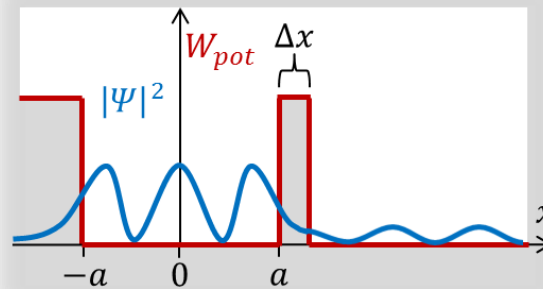


USB-Sticks, Speicherkarten

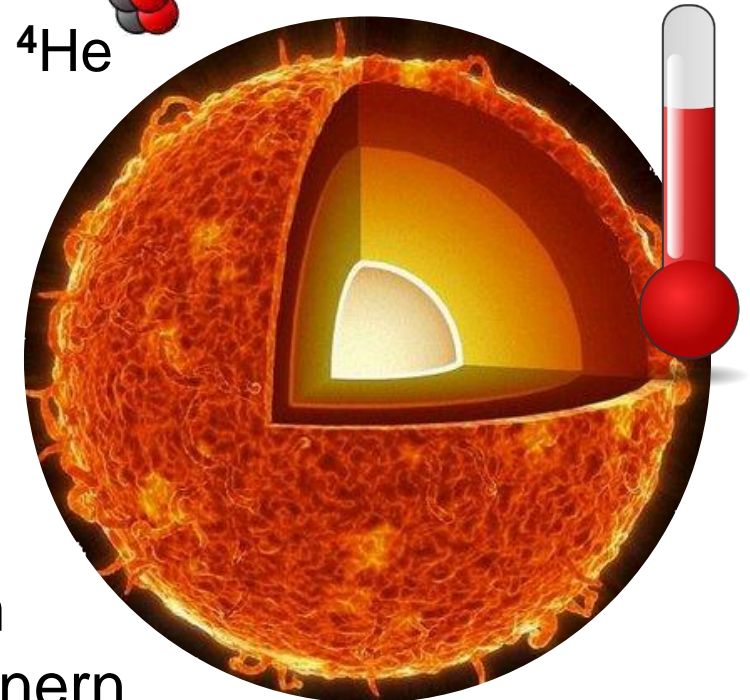


Flash-Speicher

Q: Wikipedia



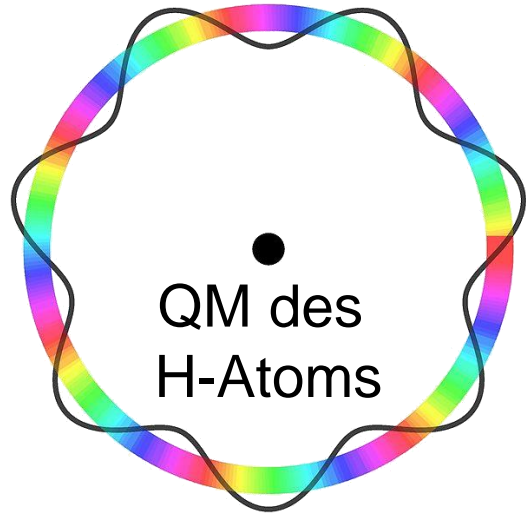
$T \sim 15 \text{ Mio. K}$



Fusion im Sonneninnern

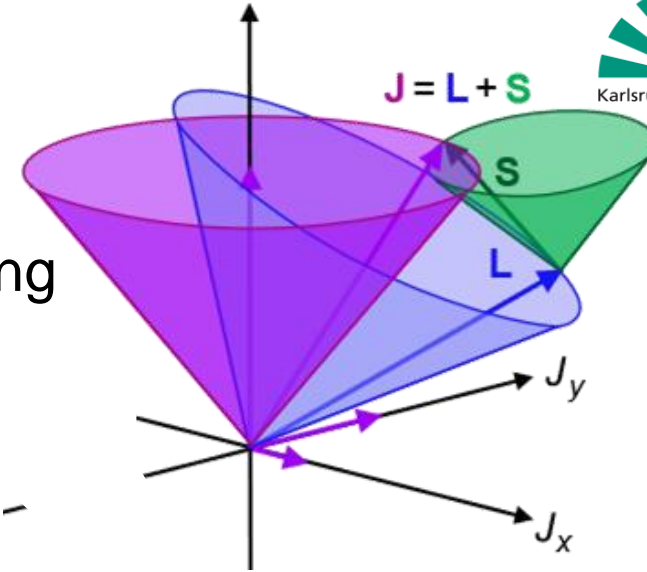
6. Das Wasserstoff-Atom

■ Themengebiete

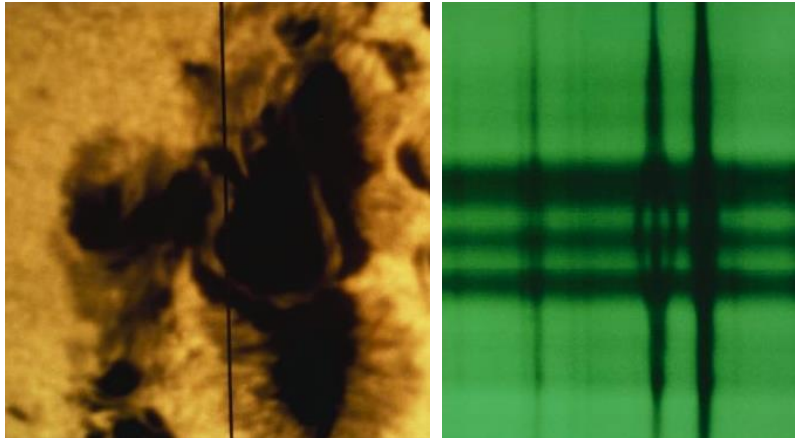
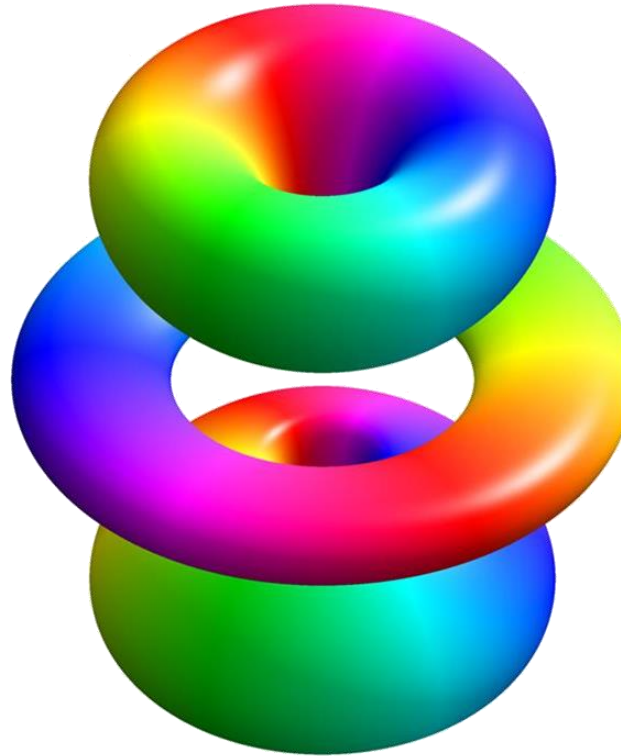


QM des H-Atoms

Feinstruktur & Spin-Bahnkopplung



Schalenstruktur & Termschema



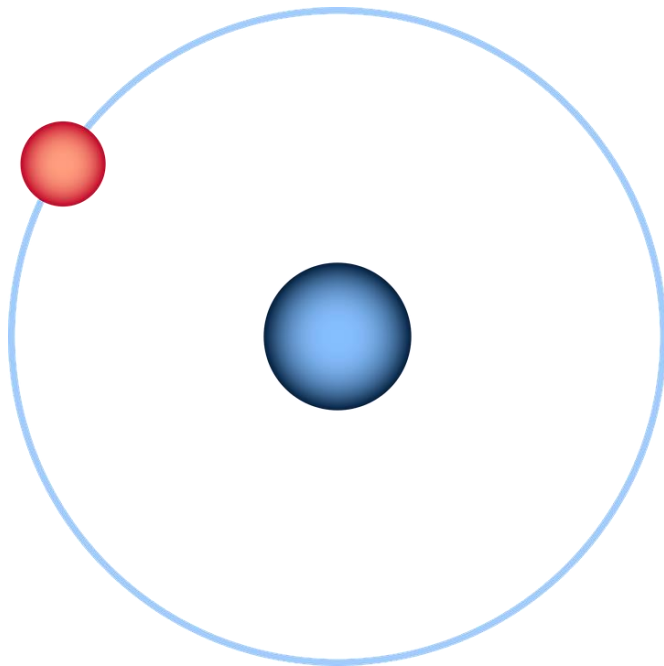
Bahn-und Spinmagnetismus

Hyperfeinstruktur



6.1 Quantenmechanik des H-Atoms

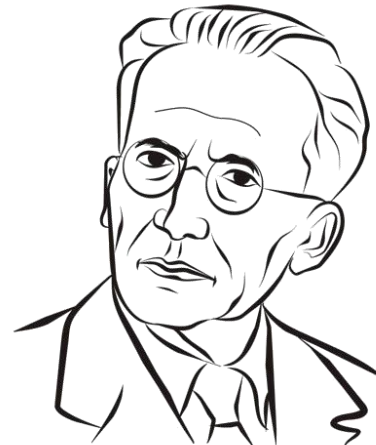
- **Schrödinger-Gleichung** für das H-Atom in 3 Dimensionen
 - Coulombfeld des Protons ist zentralsymmetrisch ($\sim -1/r$)
 - benutze nichtrelativistische Schrödingergleichung
 - Ziel: räumliche Verteilung $\Psi(r, \theta, \phi)$ eines Elektron-Orbitals



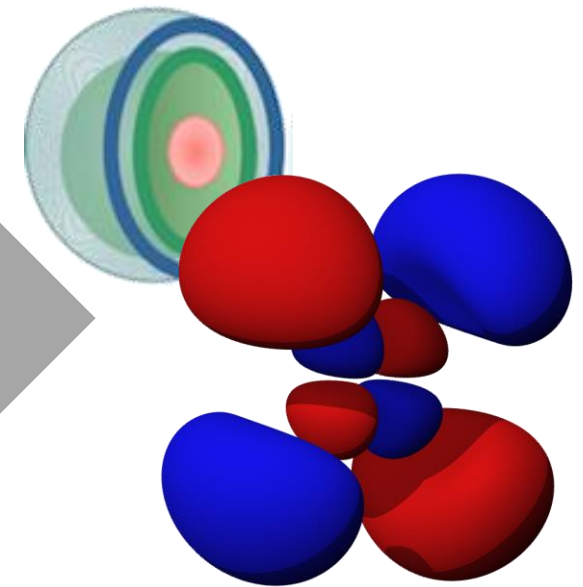
Elektronen in
klass. Kreisbahn



$$\hat{H} = -\frac{\hbar^2}{2m} \cdot \Delta + V$$



Erwin Schrödinger



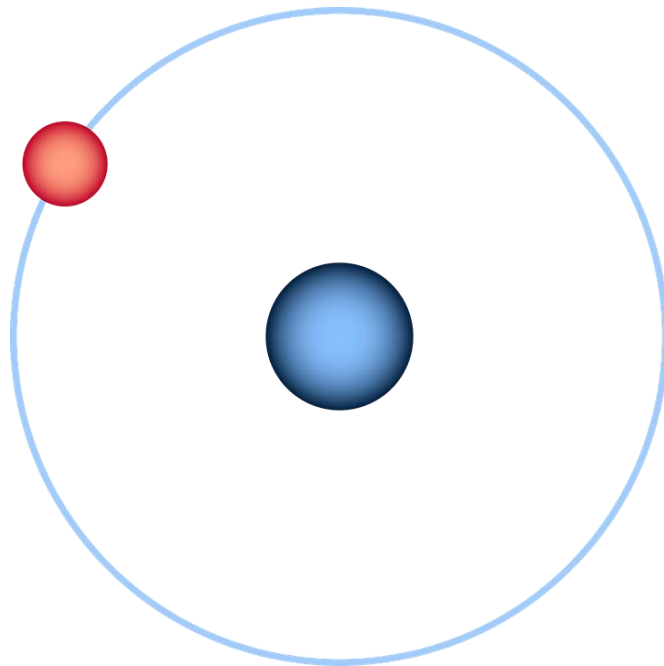
Elektronen in
Orbitalen mit Drehimpuls

Quantenmechanik des H-Atoms: Ansatz

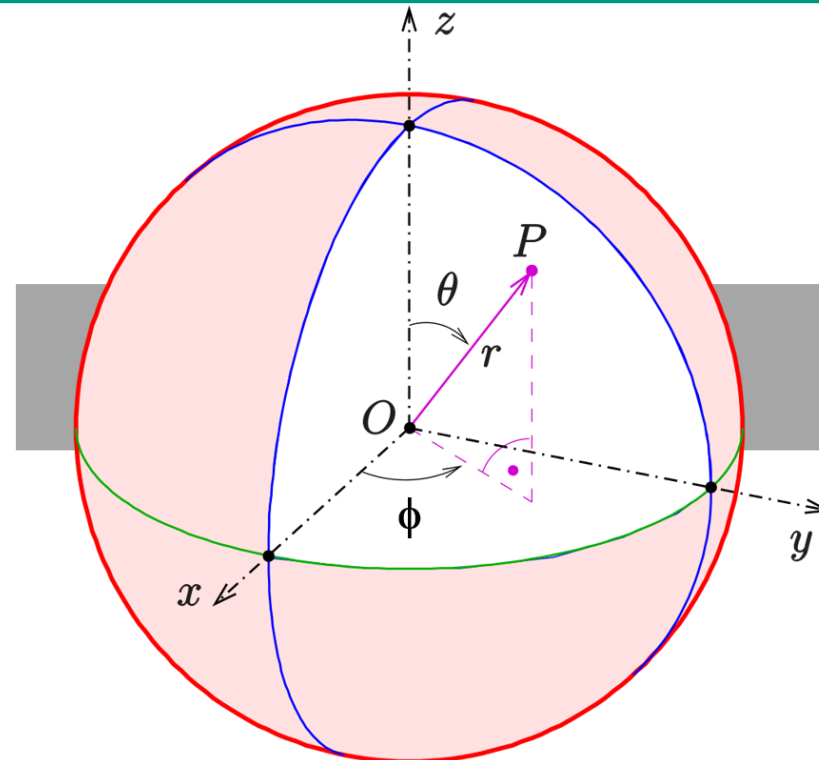
- **Schrödinger-Gleichung** für das H-Atom in 3 Dimensionen
 - ⇒ Ansatz Wellenfunktion Ψ in **Kugel-Koordinaten**
 - zentral ist Separationsansatz in 2 unabhängige Anteile:
Radialanteil $R_{nl}(r)$ und **Winkelanteil** $Y_{lm}(\theta, \phi)$



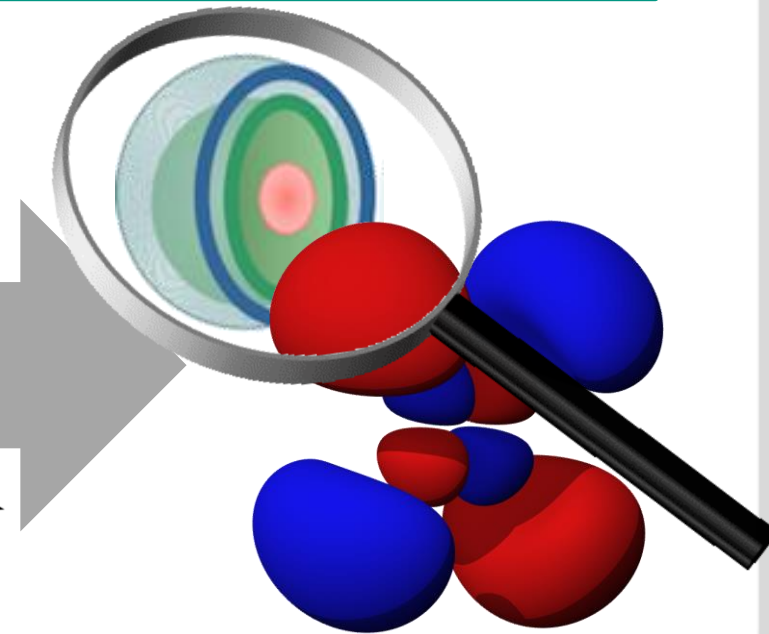
H-Atom
Zusatz-
Info



Elektronen in
klass. Kreisbahn



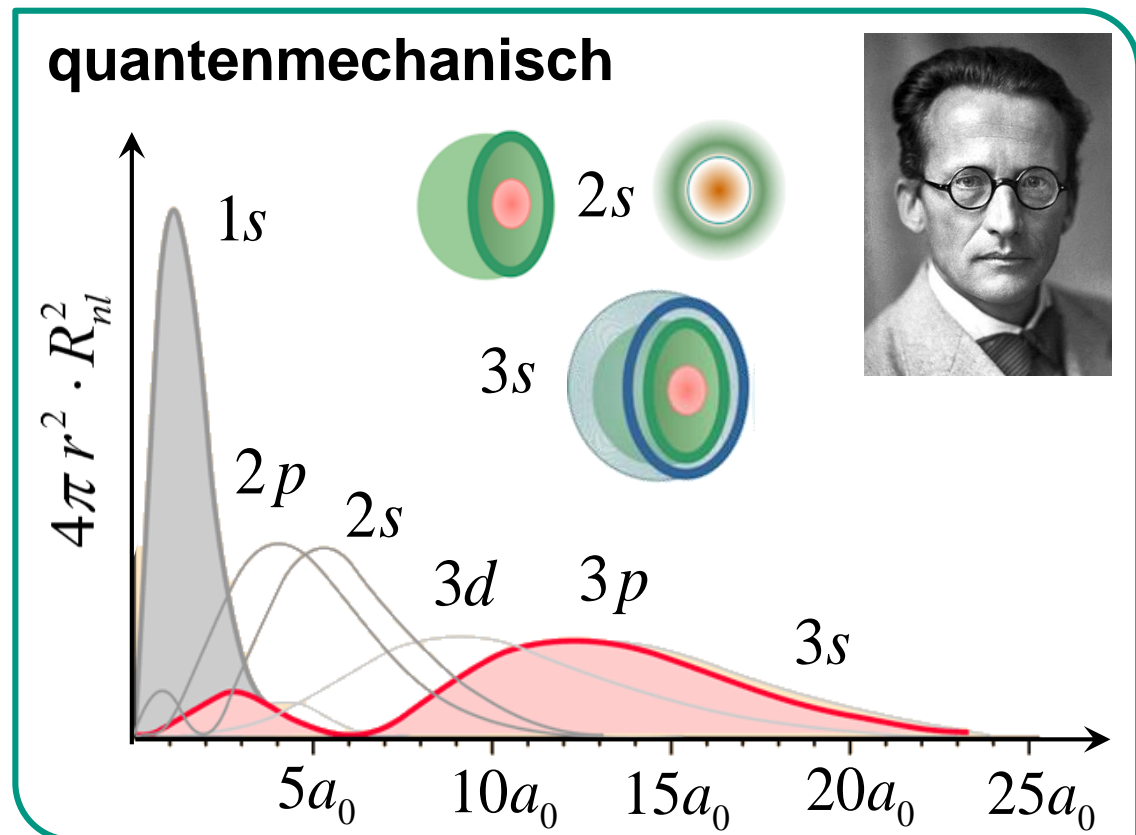
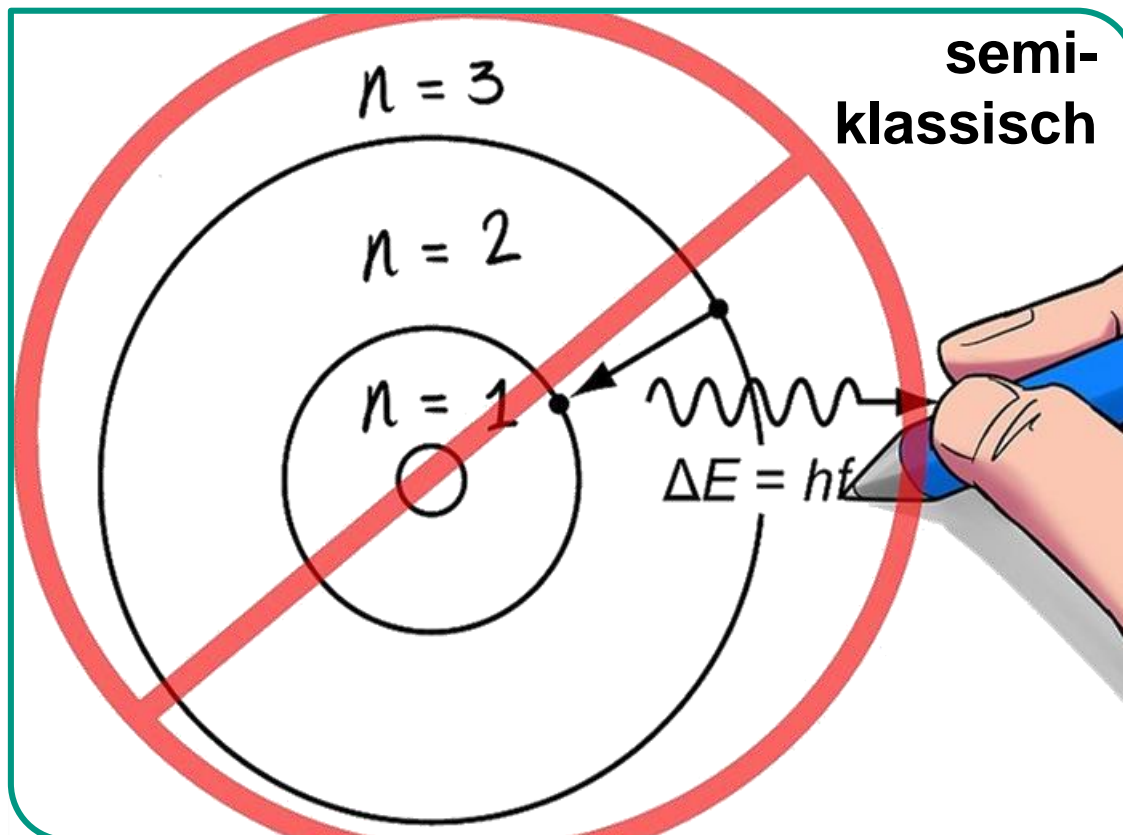
$$\Psi = \Psi(r, \theta, \phi)$$



Elektronen in
Orbitalen mit Drehimpuls

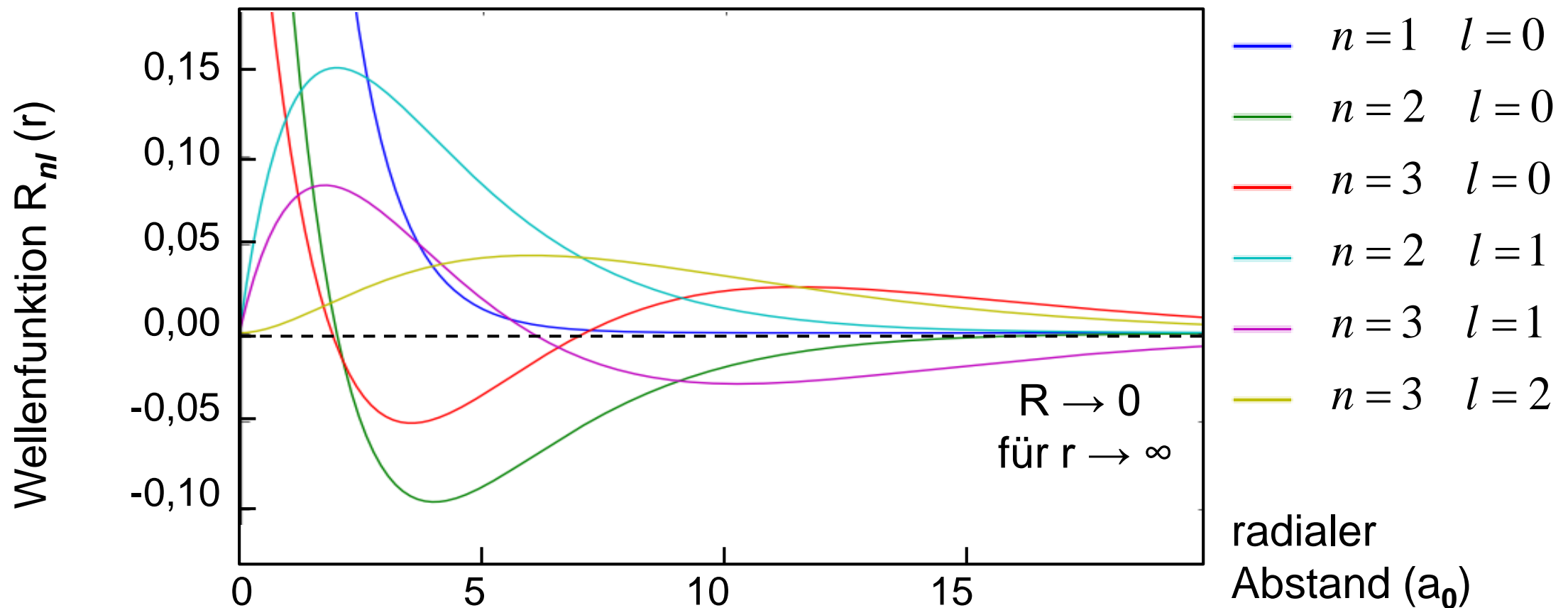
■ Radialanteil $R(r)$ der Wellenfunktion:

- $|R^2|$ beschreibt den Wahrscheinlichkeit ein Elektron in radialem Abstand r (in atomaren Einheiten a_0) vom Kern zu finden
- R ist abhängig von **Hauptquantenzahl n** und **Bahndrehimpulszahl ℓ**



■ Radialanteil $R(r)$ der Wellenfunktion:

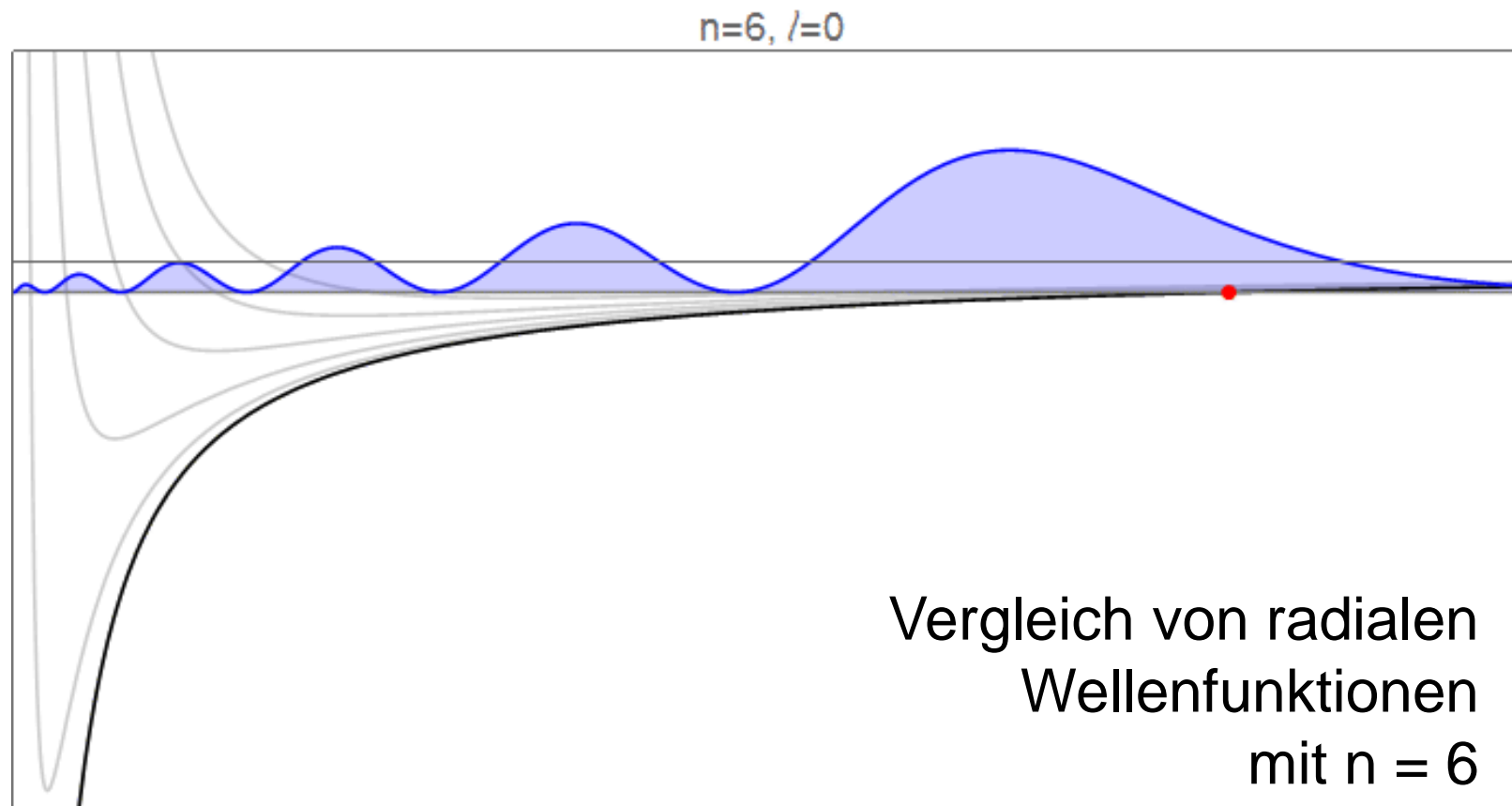
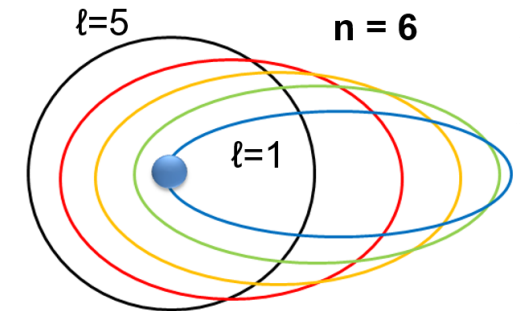
- für Radius $r \rightarrow \infty$ geht $R \rightarrow 0$, d.h. endliche Größe eines Atoms
- für festes n bewirkt Drehimpulszahl l Änderung des mittleren Abstandes



Radialfunktion

- **Radialanteil R** der Wellenfunktion- erlaubt Bestimmung der Elektron- Aufenthaltswahrscheinlichkeit über $|R_{nl}(r)|^2$

$$P(r) = 4\pi \cdot r^2 \cdot \Psi(r) \cdot \Psi^*(r)$$



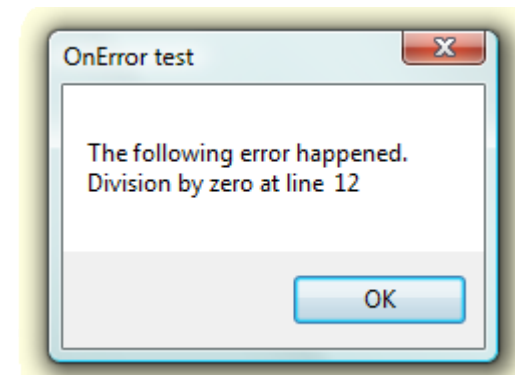
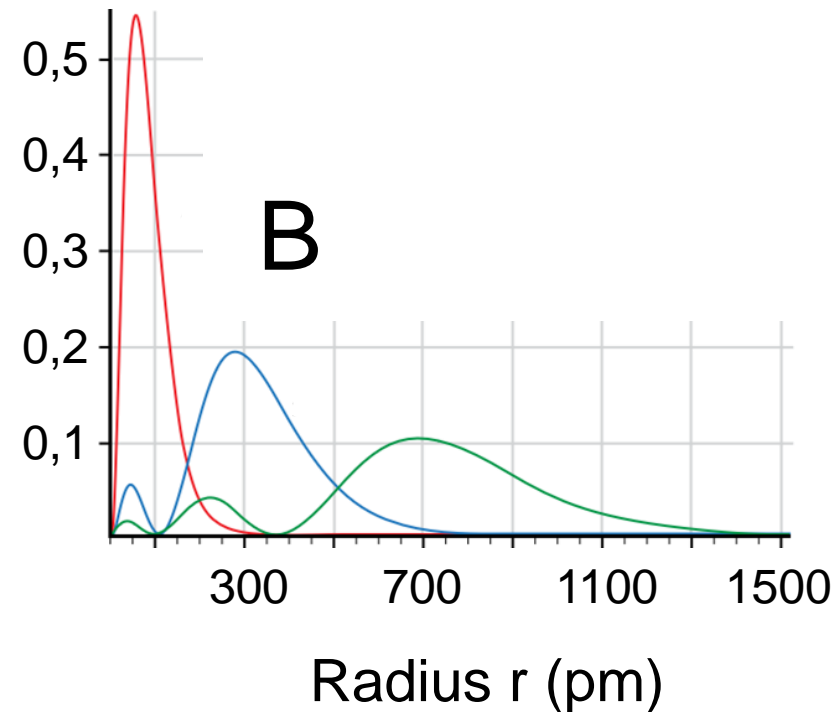
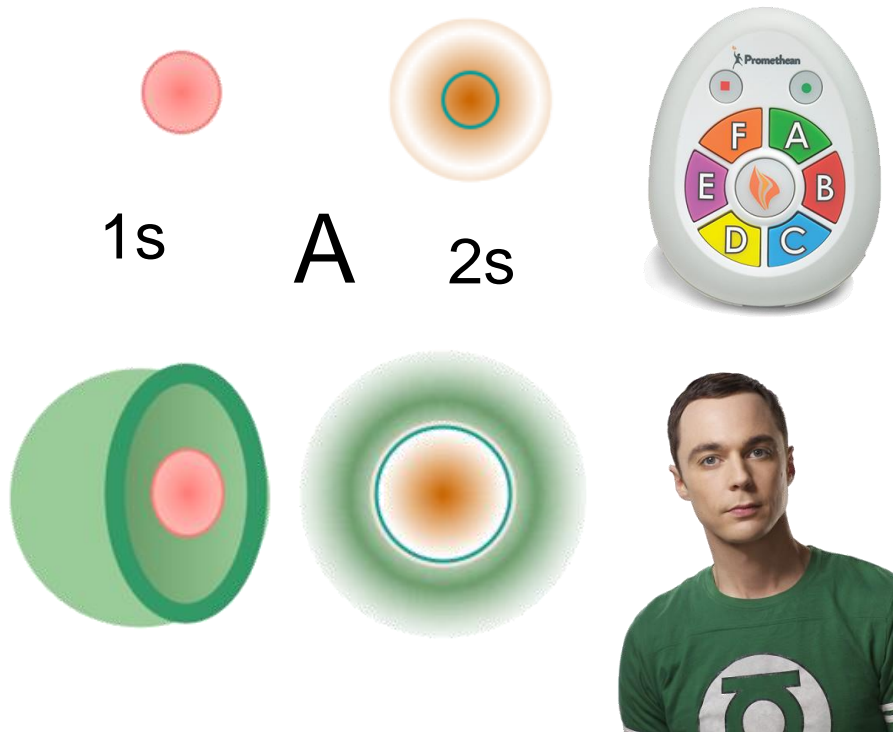
● klassische
Umkehrpunkte

Fun with Facts: Radialfunktion

■ Größe der Wahrscheinlichkeit P für ein s -Elektron am Kern? P ist

- A) maximal, da $R_{n1}(r)$ dort maximal ist
- B) minimal, da dort Radius $r = 0$ ist
- C) nicht definiert für $r = 0$ in der QM (\hbar)

$$\Psi(1s) = \frac{2}{(a_0)^{3/2}} \cdot e^{-\frac{r}{a_0}}$$



C

Einschub: Drehimpulse in der QM

- **Drehimpulse** in der QM sind quantisiert und werden als Operatoren \hat{L}^2, \hat{L}_z behandelt

- **Bahndrehimpuls L** eines Orbitals:

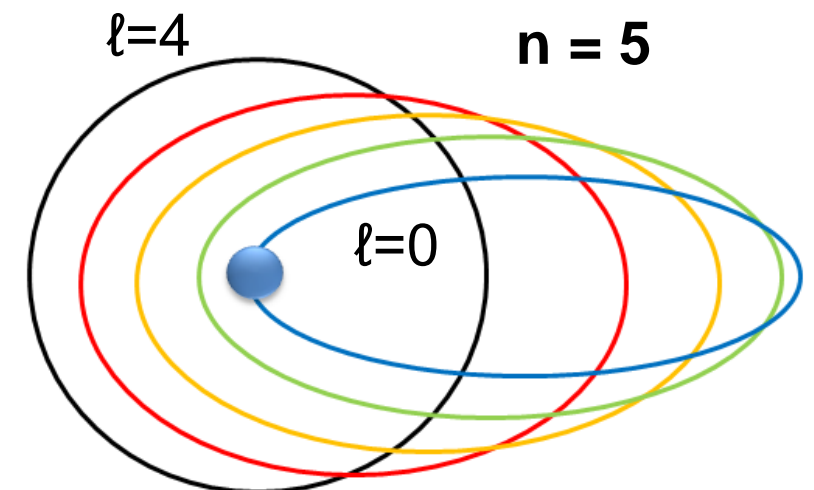
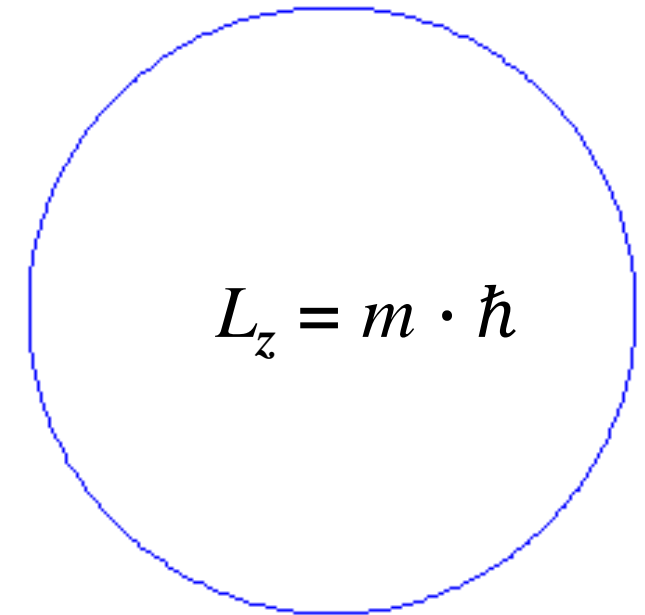
L ist quantisiert da Elektronen Wellencharakter besitzen (de Broglie Materie-Welle), nun aber in x,y,z-Richtung

- mögliche **Drehimpulsquantenzahl ℓ** eines Orbitals mit n :

$$l \leq n - 1$$

VERY IMPORTANT

Drehimpulsquantenzahl ℓ & Hauptquantenzahl n
(folgt aus Lösung der Radialgleichung)



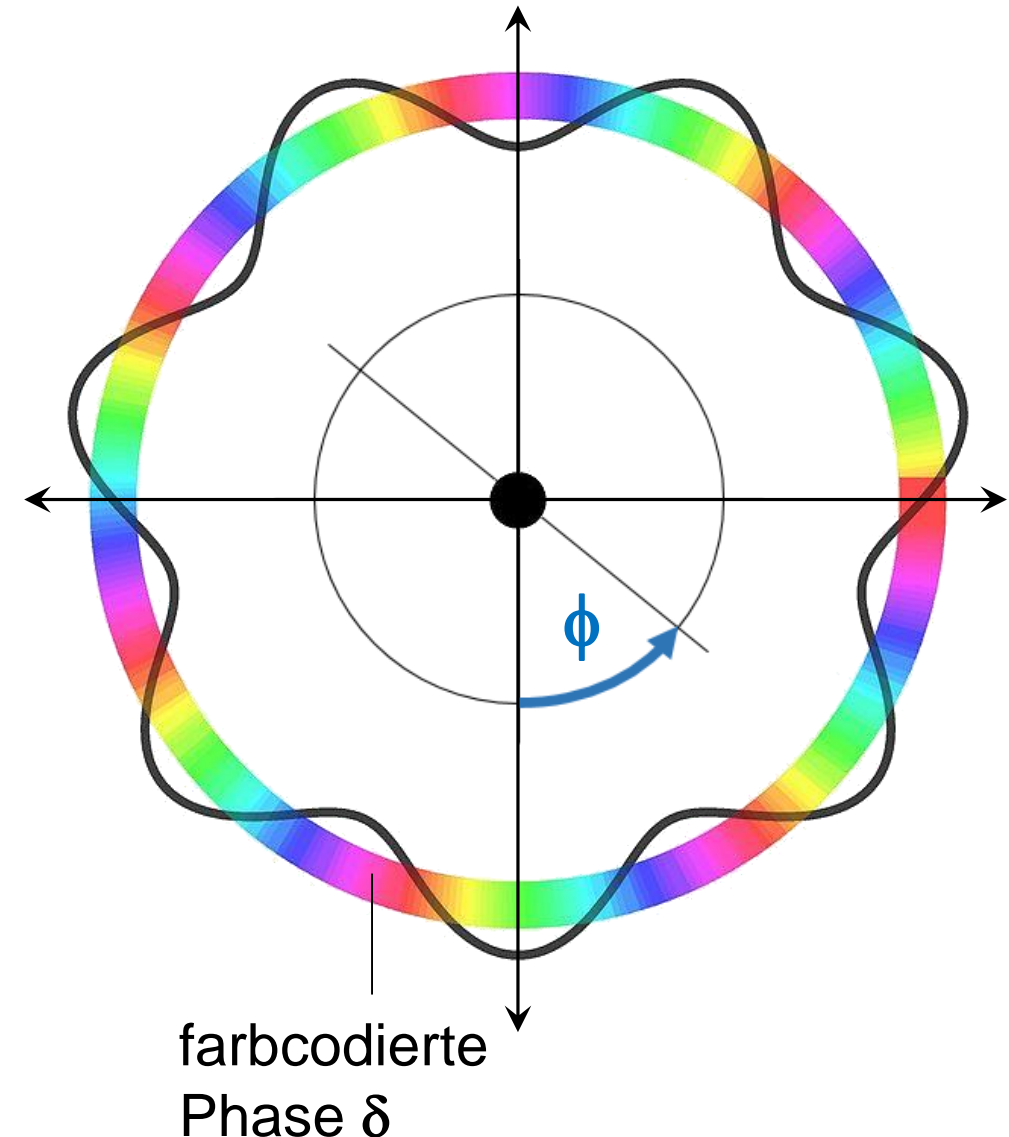
Einschub: Drehimpulse in der QM

■ Drehimpulse in der QM sind quantisiert

- „magnetische“ Quantenzahl m :
Elektronwelle mit Phasenfaktor

$$\Phi_m(\phi) = \frac{1}{\sqrt{2\pi}} \cdot e^{i \cdot m \cdot \phi}$$

- erfordert Festlegung einer Achse (hier: bezüglich der Phase)
⇒ „Raumquantisierung“, dazu
Übergang zum Vektorbild (z-Achse)



s. Haken-Wolf

Kap. 10.2 *Drehimpuls-Eigenfunktionen* (S. 161 – 167)

Einschub: Drehimpulse in der QM

- Drehimpulse (auch in der QM) visualisiert in Vektordarstellung

**Eigenwertgl. für Drehimpuls-
Operator L^2 :**

$$L^2 = L_x^2 + L_y^2 + L_z^2$$

$$L^2 \Psi = \hbar^2 \cdot l \cdot (l + 1) \Psi$$

$$L = \sqrt{l \cdot (l + 1)} \hbar$$

$$l = 0, 1, 2, \dots$$

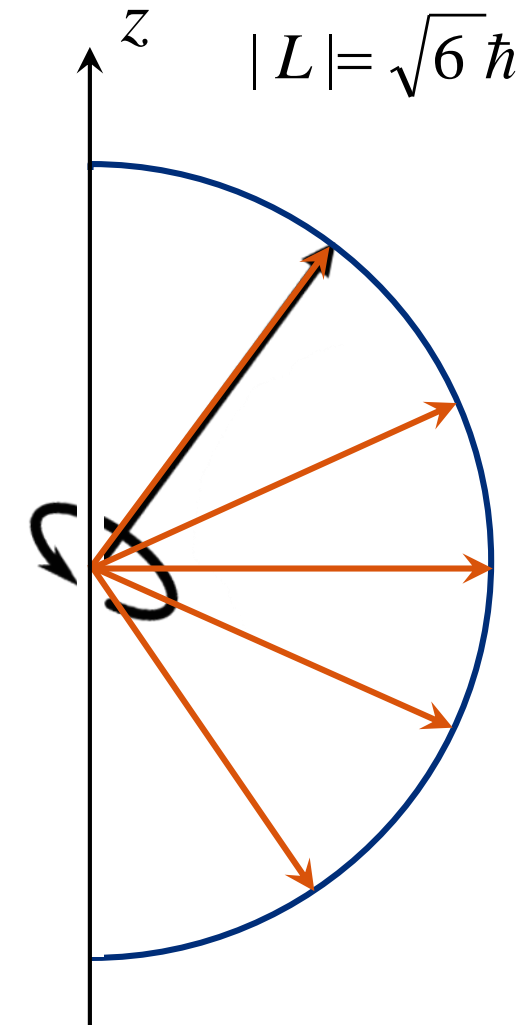
l : Azimuthalquantenzahl

Drehimpulsquantenzahl

Nebenquantenzahl

⇒ legt die Form des Orbitals fest (s. S. 37)

Quantenzahl $l = 2$



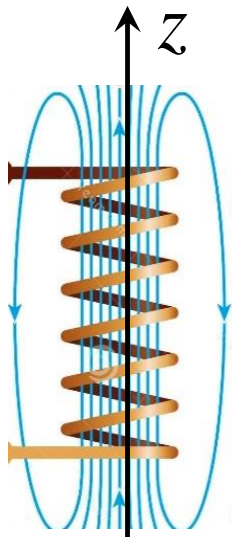
Einschub: Drehimpulse in der QM

- Drehimpulse (auch in der QM) visualisiert in Vektordarstellung

- „magnetische“ Quantenzahl m :

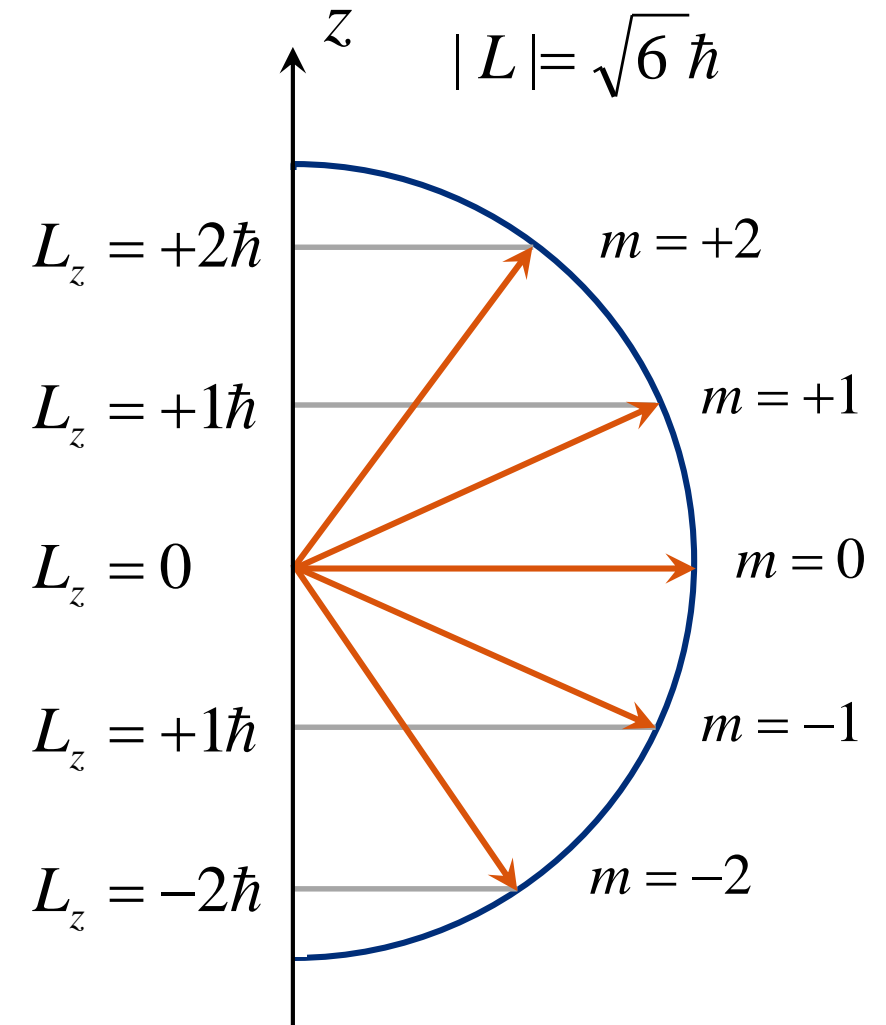
$$m = \frac{L_z}{\hbar} : -l, -(l-1), \dots, 0, \dots, (l-1), l$$

$$-l \leq m \leq +l$$



B-Feld später als
Quantisierungsachse

Quantenzahl $l = 2$



Einschub: Drehimpulse - Vertauschung

- in der QM wird Verhalten von Drehimpulsen beschrieben durch **Vertauschungsrelationen**

Quantenzahl $l = 2$

- Drehimpulsoperator (L^2)

$$L^2 = L_x^2 + L_y^2 + L_z^2$$

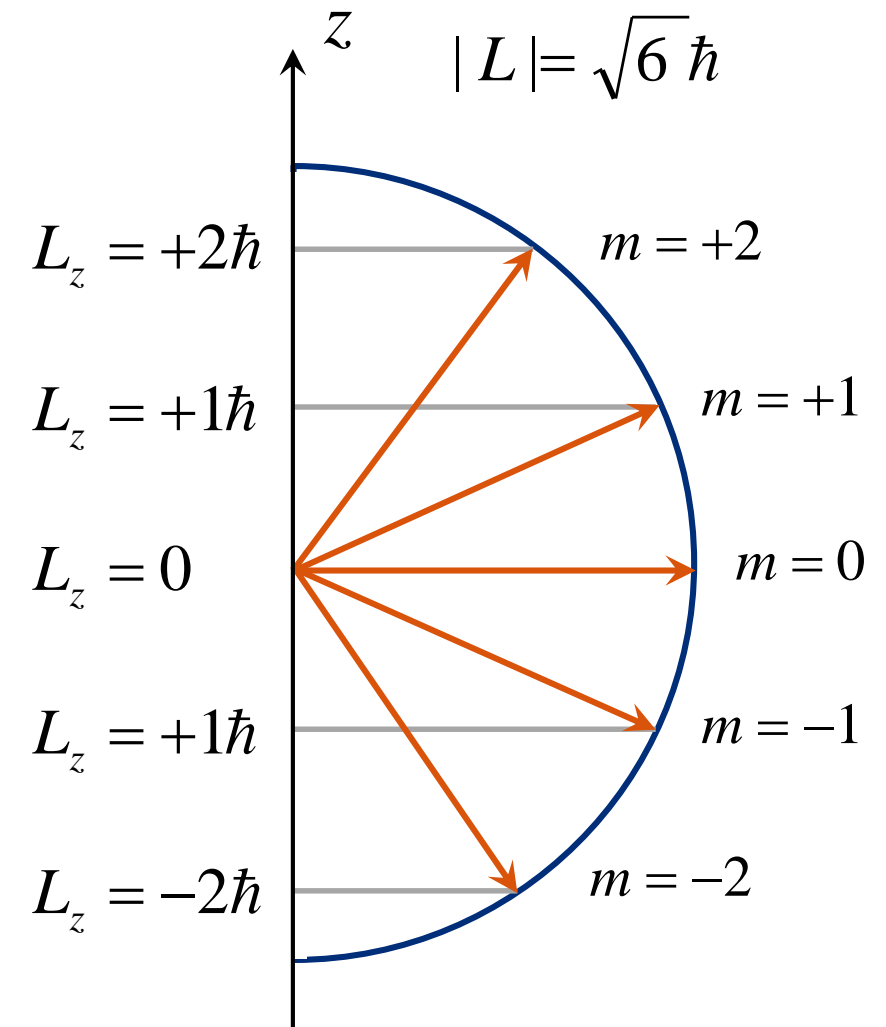
vertauscht mit einzelner Komponente

$$L_z : [L^2, L_z] = 0$$

$$L_y : [L^2, L_y] = 0$$

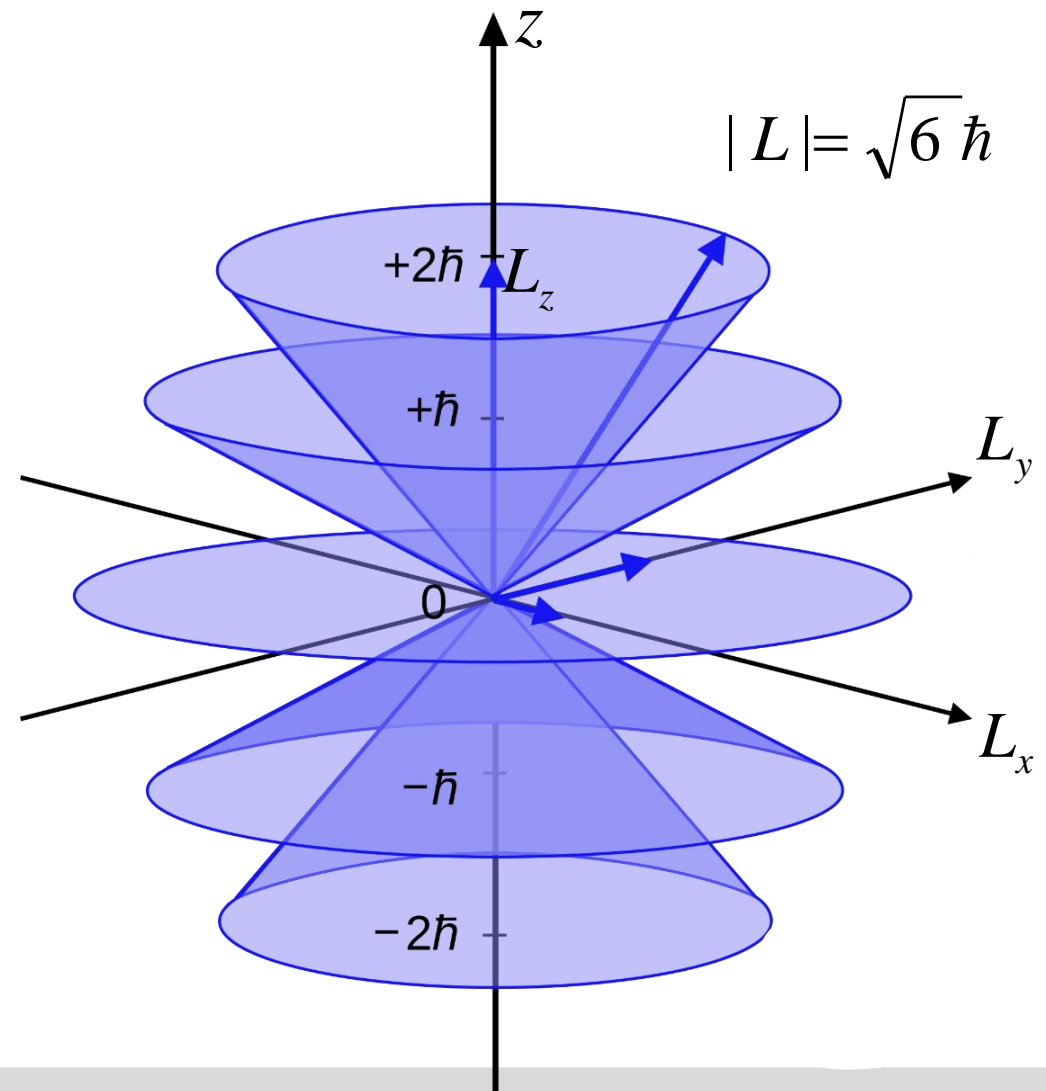
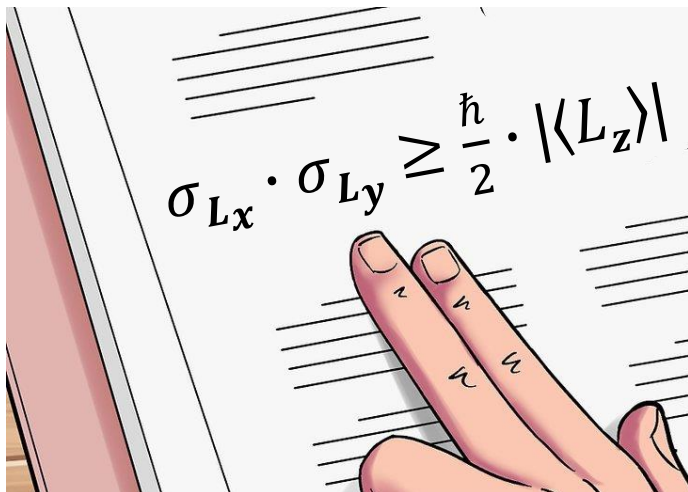
$$L_x : [L^2, L_x] = 0$$

- in einem System ist nur der Gesamtdrehimpuls L^2 & eine Komponente (z.B. L_z) bestimmbar



■ Einstellmöglichkeiten für einen Drehimpuls L für die Quantenzahl $\ell = 2$

- nach Festlegung von $|L|$ und L_z sind L_x und L_y nicht bestimmbar und liegen auf Kegelmänteln
- die Observablen L_z und L_x sowie L_z und L_y sind komplementär (d.h. Operatoren kommutieren nicht)

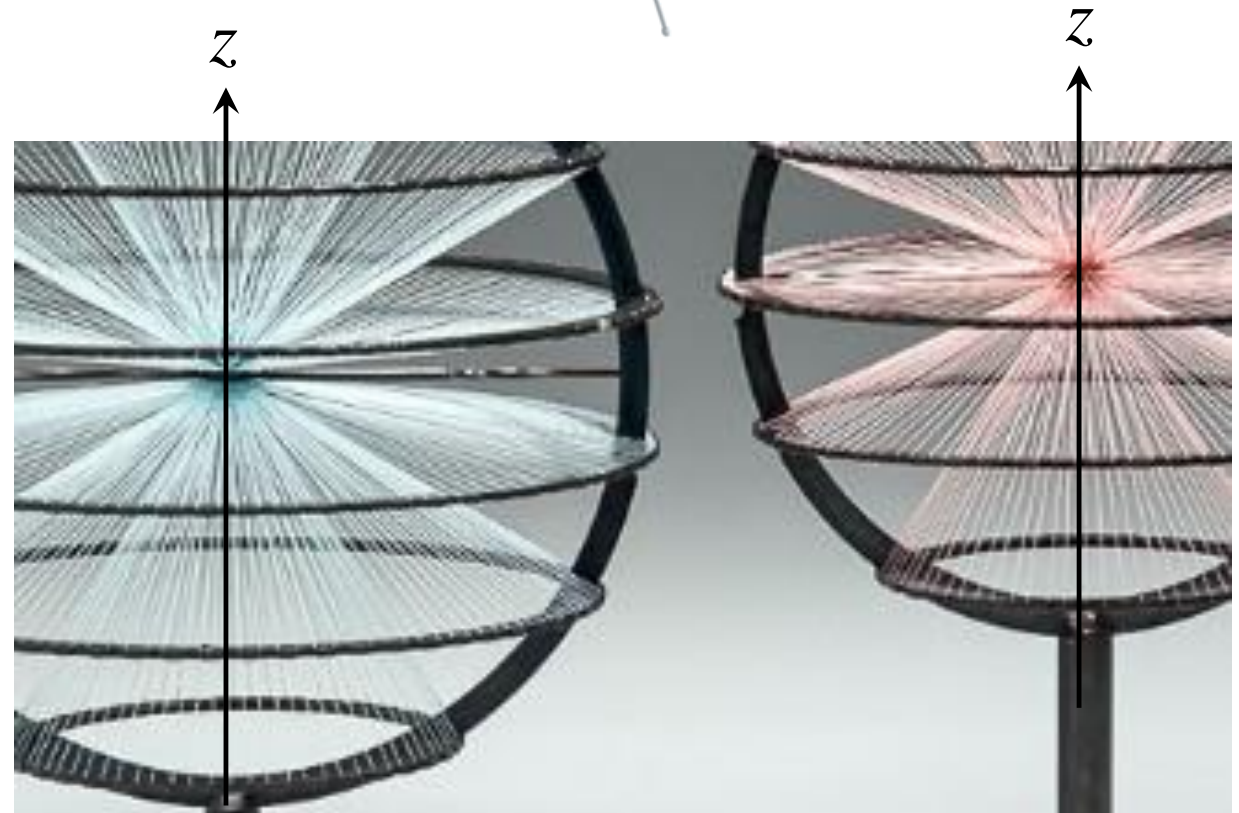


■ Einstellmöglichkeiten für einen Drehimpuls L und seine Komponenten

- „**Raumquantisierung**“ durch Wahl der Achse von L_z
- Präzessionsbewegung von L_x und L_y kann zeitlich nicht aufgelöst werden (Heisenberg)



klassisch

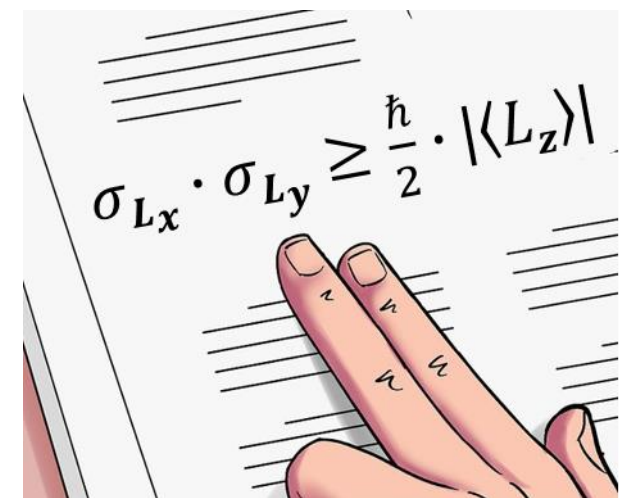
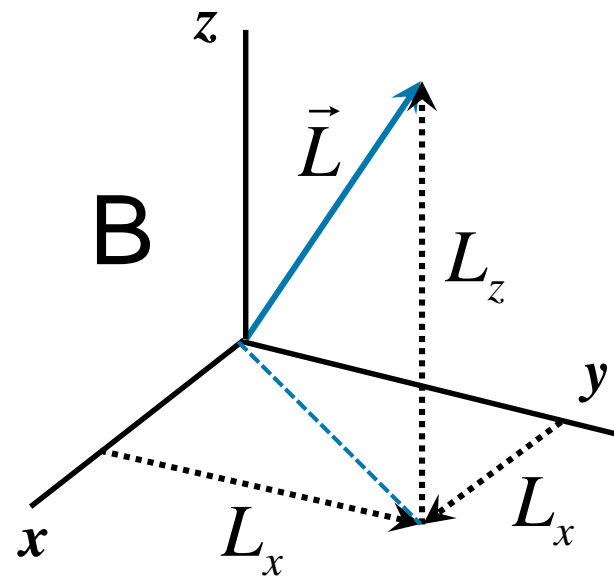
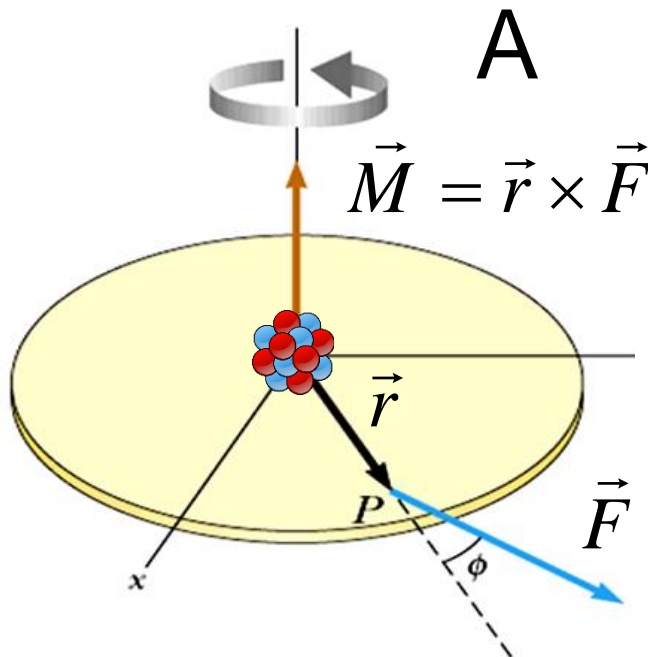
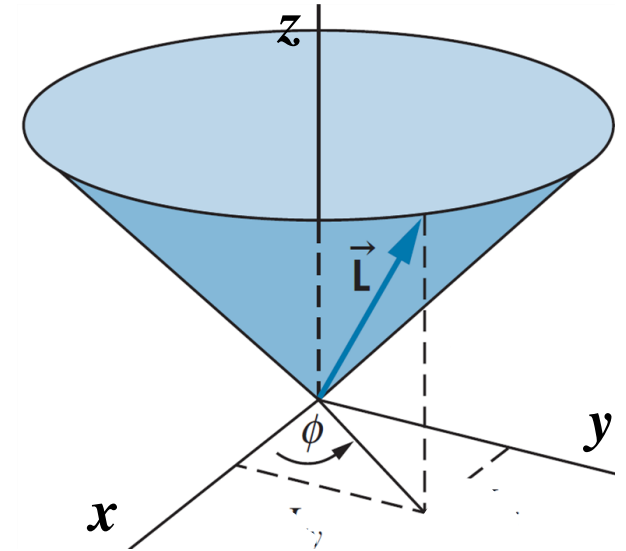


L_x und L_y :
Präzession um z-Achse

Fun with Facts - Präzession

■ Weshalb präzessiert L um z -Achse? Durch die...

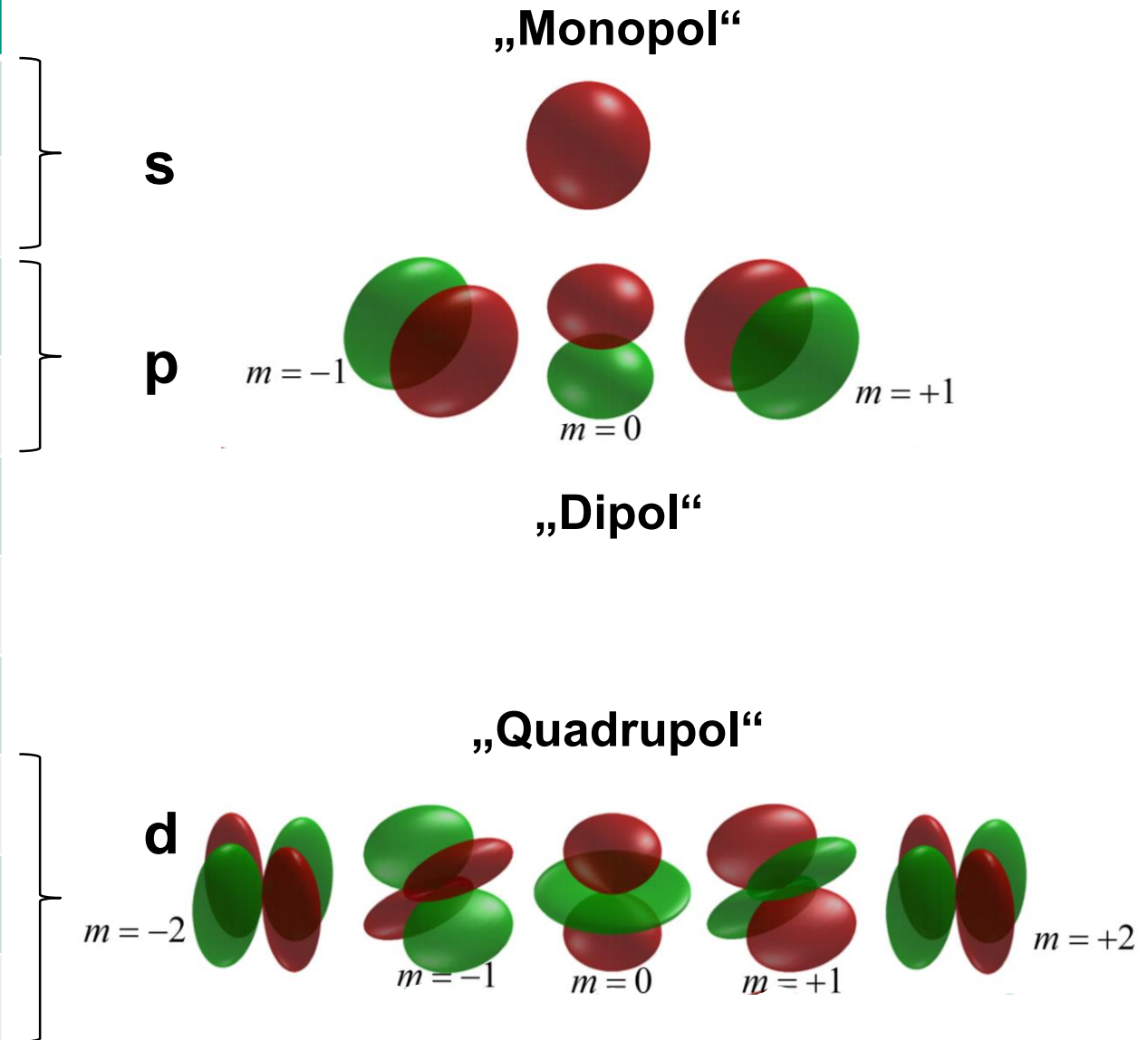
- A) ...Einwirkung des Kern-Drehmoments \vec{M}
- B) ...Erhaltung des Gesamt-Drehimpulses \vec{L}
- C) ...Inkompatibilität der Observablen (L_z vs. $L_{x,y}$)



C

Wellenfunktionen des H-Atoms

Orbital	n	l	m_l
1s	1	0	0
2s	2	0	0
2p	2	1	0
2p	2	1	± 1
3s	3	0	0
3p	3	1	0
3p	3	1	± 1
3d	3	2	0
3d	3	2	± 1
3d	3	2	± 2



Elektronenorbitale

■ Gesamtwellenfunktionen Ψ_{nlm}

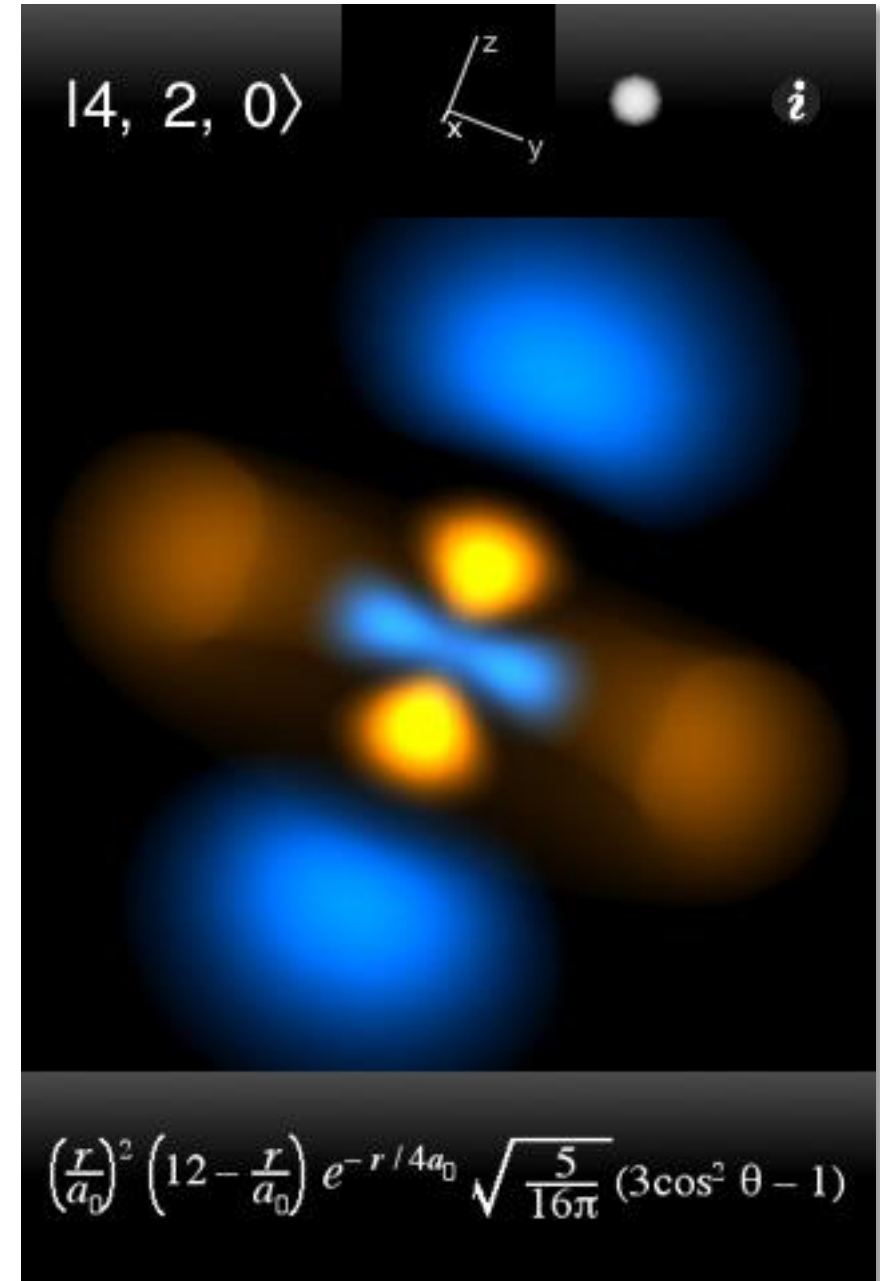
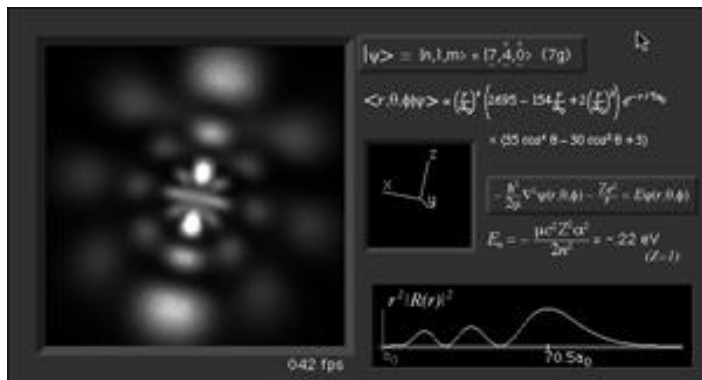
$$\Psi(1s) = \Psi_{100} = \frac{1}{\sqrt{\pi}} \cdot \left(\frac{1}{a_0}\right)^{\frac{3}{2}} \cdot e^{-r/a_0}$$

$$\Psi(2s) = \Psi_{200} = \frac{1}{4\sqrt{2\pi}} \cdot \left(\frac{1}{a_0}\right)^{\frac{3}{2}} \cdot \left(2 - \frac{r}{a_0}\right) \cdot e^{-r/2a_0}$$

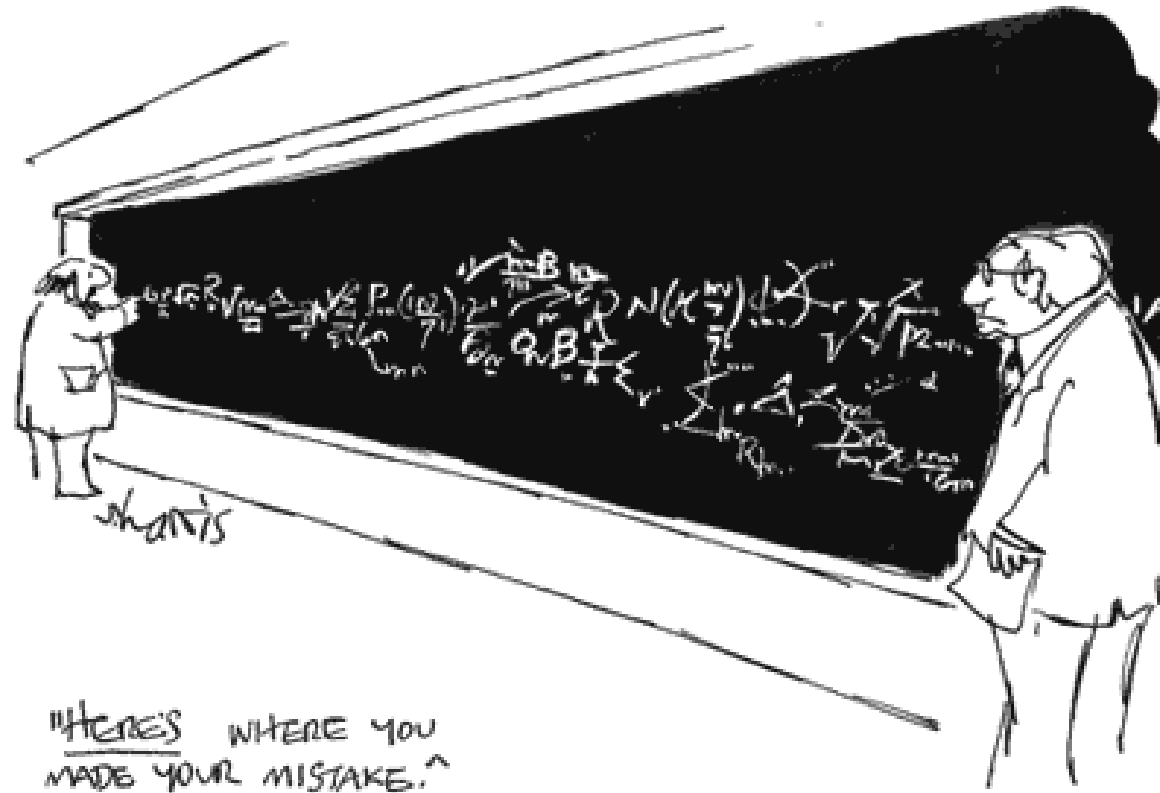
$$\Psi(2p) = \Psi_{210} = \frac{1}{4\sqrt{2\pi}} \cdot \left(\frac{1}{a_0}\right)^{\frac{3}{2}} \cdot e^{-r/2a_0} \cdot \cos \theta$$

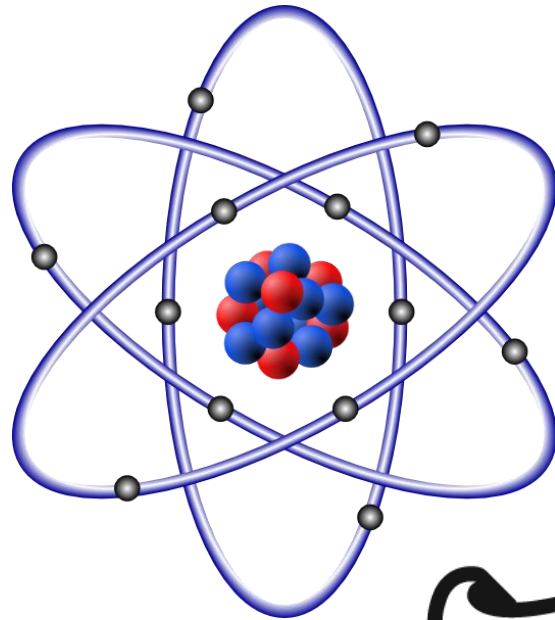
Atoms in
a Box

Q: Darger
Research



Winkelterm H-Atom 2019





Moderne Experimental- physik – I

On Tour

